

## บทที่ 4

### ผลการวิจัย

#### 4.1 ผลการพัฒนาระบวนการใช้เซลล์มะเร็งบางชนิดในการตรวจสอบการออกฤทธิ์ของเอสโตรเจน และสารออกฤทธิ์คล้ายเอสโตรเจน

ผลการพัฒนาระบวนการใช้เซลล์มะเร็งบางชนิดในการตรวจสอบการออกฤทธิ์ของเอสโตรเจน และสารออกฤทธิ์คล้ายเอสโตรเจนตามวิธีการ ในหัวข้อ 3.1 ซึ่งมีการทดลอง 3 ขั้นตอน ได้ผลดังนี้

##### 4.1.1 ผลการคัดเลือกเซลล์เชื้อสายเป็นโนมเดลในการทดสอบการออกฤทธิ์ของเอสโตรเจน และสารออกฤทธิ์คล้ายเอสโตรเจน

ผลการคัดเลือกเซลล์เชื้อสายทั้ง 3 คือ HeLa, MCF-7 และ MDA-MB-231 ที่มีการตอบสนองต่อการรับกระตุ้นเมื่อได้รับ  $17\beta$ -estradiol ตามวิธีการข้อ 3.1.1 ข้อ จเมื่อเซลล์ได้รับสารตามระยะเวลาที่กำหนดแล้ว (72 ชั่วโมง) นำมาตรวจสอบจำนวนเซลล์ด้วยเทคนิค SRB แล้วนำไปวิเคราะห์เปรียบเทียบกับสารควบคุมโดยคิดเป็นร้อยละการยับยั้ง การเพิ่มจำนวนเซลล์ ได้ผลดังนี้

###### (1) เซลล์เชื้อสายมะเร็งปากมดลูก HeLa

เมื่อเซลล์ได้รับ  $17\beta$ -estradiol ที่ระดับความเข้มข้น  $10^{-18}$ ,  $10^{-16}$ ,  $10^{-14}$ ,  $10^{-12}$ ,  $10^{-10}$ ,  $10^{-8}$ ,  $10^{-6}$  และ  $10^{-5}$  M พบร่วมกับเซลล์มีร้อยละการแบ่งตัวเท่ากับ 84, 78, 74, 71, 68, 63, 61 และ 56 ตามลำดับ จะเห็นว่าเซลล์มีร้อยละการแบ่งตัวที่ลดลงเมื่อระดับความเข้มข้นของ  $17\beta$ -estradiol เพิ่มขึ้น แสดงถึงความเป็นพิษของ  $17\beta$ -estradiol ต่อเซลล์ (ดังภาพ 4.1)

###### (2) เซลล์เชื้อสายมะเร็งเต้านม MCF-7

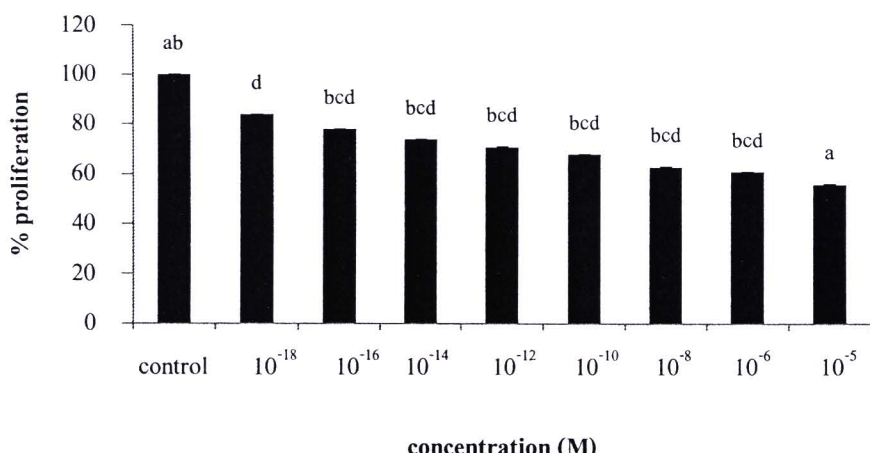
เมื่อเซลล์ได้รับ  $17\beta$ -estradiol ที่ระดับความเข้มข้น  $10^{-18}$ ,  $10^{-16}$ ,  $10^{-14}$  และ  $10^{-12}$  M พบร่วมกับเซลล์มีร้อยละการแบ่งตัวเท่ากับ 178.98, 184.80, 197.78 และ 210.82 ตามลำดับ แสดงให้เห็นว่าเซลล์มีร้อยละการแบ่งตัวที่เพิ่มขึ้นตามระดับความเข้มข้นที่มากขึ้นหรืออาจกล่าวได้ว่าที่ช่วงระดับความเข้มข้นของ  $17\beta$ -estradiol ระหว่าง  $10^{-8}$  -  $10^{-12}$  M เซลล์ได้รับการกระตุ้นให้แบ่งตัวเพิ่มจำนวนตามความเข้มข้นและ ที่ระดับความเข้มข้น  $10^{-10}$ ,  $10^{-8}$ ,  $10^{-6}$  และ  $10^{-5}$  M จะเห็นว่าเซลล์มีร้อย

ละการแบ่งตัวที่ลดลงเท่ากับ 162.28, 144.44, 135.96 และ 96.49 ตามลำดับ แสดงให้เห็นว่าเซลล์มีร้อยละการแบ่งตัวลดลงตามลำดับความเข้มข้นที่มากขึ้น (ดังภาพ 4.2) ซึ่งกล่าวได้ว่าความเข้มข้นที่มากกว่า  $10^{-12}$  M จะเป็นพิษต่อเซลล์ MCF-7

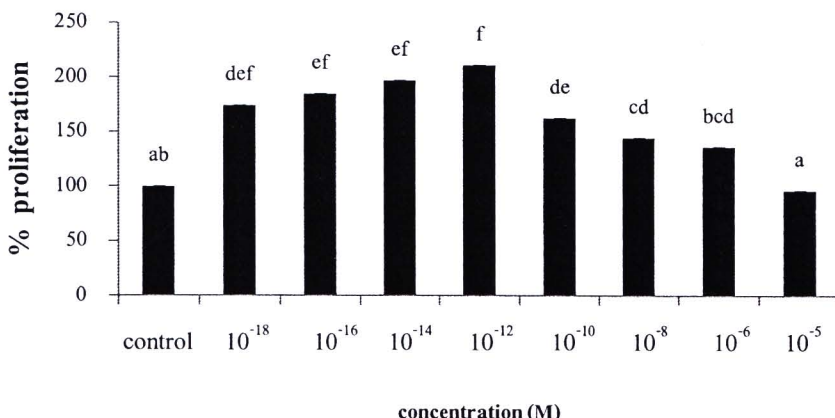
### (3) เซลล์เชื้อสายมะเร็งเต้านม MDA-MB-231

เมื่อเซลล์ได้รับ 17 $\beta$ -estradiol ที่ระดับความเข้มข้น  $10^{-18}, 10^{-16}, 10^{-14}, 10^{-12}, 10^{-10}, 10^{-8}, 10^{-6}$  และ  $10^{-5}$  Mพบว่าเซลล์มีร้อยละการแบ่งตัวเท่ากับ 90, 85, 73, 70, 64, 48, 43 และ 29 ตามลำดับ แสดงให้เห็นว่าเซลล์มีร้อยละการแบ่งตัวที่ลดลงเมื่อระดับความเข้มข้นเพิ่มขึ้น แสดงให้เห็นว่า 17 $\beta$ -estradiol มีความเป็นพิษต่อเซลล์ ซึ่งลักษณะเช่นนี้จะคล้ายกับที่พนจาก การทดลองในเซลล์ HeLa (ดูข้อ 4.1.1 (1)) (ดังภาพ4.3)

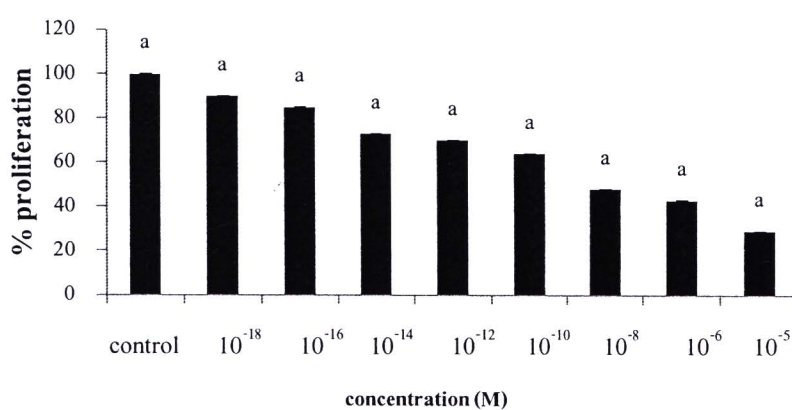
ดังนั้นจากการทดลองทั้ง 3 ข้อข้างต้นนี้ทำให้สามารถเลือกเซลล์ MCF-7 เพื่อใช้เป็นโมเดลในการทดสอบการออกฤทธิ์ของเอสโตรเจนในอีก 2 ขั้นตอน ย่อยต่อไป ทั้งนี้เนื่องจาก MCF-7 มีความชัดเจนในการตอบสนองต่อการกระตุ้นของ 17 $\beta$ -estradiol มากกว่าเซลล์อีก 2 เชื้อสาย



ภาพ 4.1 แสดงความสัมพันธ์ของร้อยละการยับยั้งการเพิ่มจำนวนกับระดับความเข้มข้นที่ เซลล์ HeLa ได้รับ 17 $\beta$ -estradiol แสดงค่าเฉลี่ย  $\pm$  SE ตัวอักษรบันแท่งกราฟแสดงถึงความแตกต่างทางสถิติ ( $P \leq 0.05$ )



ภาพ4.2 แสดงความสัมพันธ์ของร้อยละการยับยั้งการเพิ่มจำนวนกับระดับความเข้มข้นที่เซลล์ MCF-7 ได้รับ 17 $\beta$ -estradiol แสดงค่าเฉลี่ย  $\pm$  SE ตัวอักษรบันแท่งกราฟแสดงถึงความแตกต่างทางสถิติ ( $P \leq 0.05$ )



ภาพ4.3 แสดงความสัมพันธ์ของร้อยละการยับยั้งการเพิ่มจำนวนกับระดับความเข้มข้นที่ เซลล์ MDA-MB-231 ได้รับ 17 $\beta$ -estradiol แสดงค่าเฉลี่ย  $\pm$  SE ตัวอักษรบันแท่งกราฟแสดงถึง ความแตกต่างทางสถิติ ( $P \leq 0.05$ )

#### 4.1.2 ผลการทดสอบเซลล์ด้วยสารมาตรฐาน

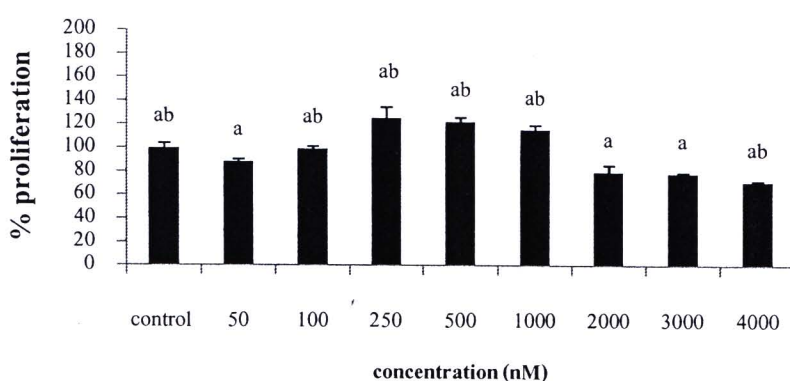
ผลการทดสอบเซลล์ด้วยสารมาตรฐานต่อเซลล์ MCF-7 (ดูข้อ 3.1.2) โดยศึกษาความเข้มข้นของสารมาตรฐานที่สามารถออกฤทธิ์ต่อเซลล์ MCF-7 ตามวิธีการหัวข้อ 3.1.2 ข้อ 2 เมื่อเซลล์ได้รับสารมาตรฐานแล้วจึงนำเซลล์มาตรวจสอบจำนวนเซลล์ด้วยเทคนิค SRB และนำไปวิเคราะห์ดูการยับยั้งการเพิ่มจำนวนของเซลล์ เมื่อนำมาเปรียบเทียบกับตัวควบคุมโดยคำนวณเป็นร้อยละ การแบ่งตัวเพิ่มจำนวน (proliferation) ได้ผลดังนี้

### (1) aldrin (AD)

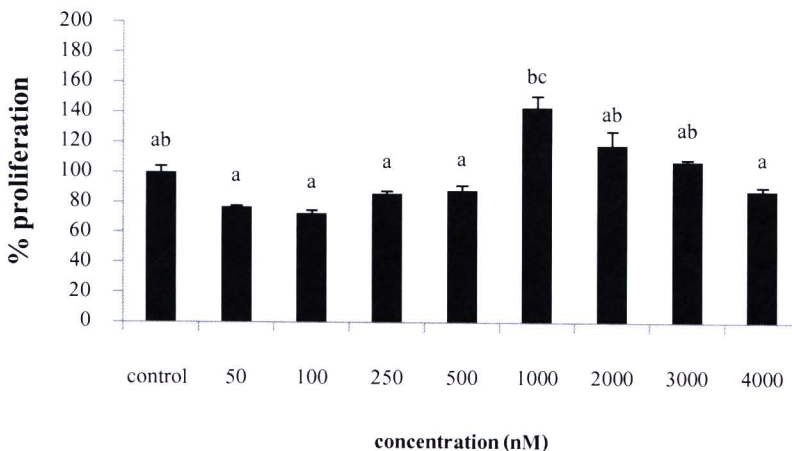
ผลการทดสอบ aldrin ต่อเซลล์ MCF-7 (ภาพ 4.4) ที่ระดับความเข้มข้น 50, 100 และ 250 nM พบว่าเซลล์มีร้อยละการเพิ่มจำนวนเท่ากับ 88.40, 99.20 และ 125.20 ตามลำดับ แสดงให้เห็นว่าเซลล์มีแนวโน้มเพิ่มขึ้นที่ระดับความเข้มข้นเพิ่มนากขึ้น และที่ระดับความเข้มข้น 500, 1,000, 2,000, 3,000 และ 4,000 nM เซลล์มีร้อยละของจำนวนที่ลดลงตามลำดับ คือ 122.20, 115.40, 79.80, 78.60 และ 71.60 โดยความเข้มข้นที่กระตุ้นให้เซลล์มีร้อยละการเพิ่มจำนวนมากที่สุดคือ 250 nM ซึ่งสามารถกล่าวได้ว่า aldrin ที่ความเข้มข้นเท่ากับและมากกว่า 250 nM เป็นพิษต่อเซลล์ แต่ถ้าหากว่า 250 nM จะกระตุ้นให้เซลล์แบ่งตัวเพิ่มจำนวน

### (2) endrin (ED)

ผลการทดสอบ endrin ต่อเซลล์ MCF-7 (ภาพ 4.5) ที่ระดับความเข้มข้น 50, 100, 250, 500 และ 1,000 nM พบว่า เซลล์มีร้อยละของการเพิ่มจำนวนเท่ากับ 77, 72.60, 86.20, 88 และ 143.60 ตามลำดับ แสดงให้เห็นว่าเซลล์มีร้อยละของการเพิ่มจำนวนตามระดับความเข้มข้นของ endrin ที่เพิ่มมากขึ้น และที่ระดับความเข้มข้น 2,000, 3,000 และ 4,000 nM มีค่าร้อยละของจำนวนลดลงมีค่าเท่ากับ 118.40, 107.80 และ 88.20 ตามลำดับ โดยความเข้มข้นที่กระตุ้นให้เซลล์มีร้อยละการเพิ่มจำนวนมากที่สุดคือ 1,000 nM ดังนั้นความเข้มข้นของ endrin ที่เท่ากับและมากกว่า 1,000 nM เป็นพิษต่อเซลล์แต่ถ้าหากว่าจะกระตุ้นการแบ่งตัวของเซลล์



ภาพ 4.4 แสดงความสัมพันธ์ของร้อยละการยับยั้งการเพิ่มจำนวนกับระดับความเข้มข้นที่เซลล์ MCF-7 ได้รับ aldrin(AD) และค่าเฉลี่ย  $\pm$  SE ตัวอักษรบันทึกในแท่งกราฟแสดงถึงความแตกต่างทางสถิติ ( $P \leq 0.05$ )



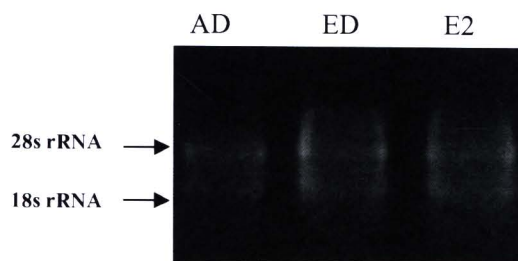
**ภาพ 4.5** แสดงความสัมพันธ์ของร้อยละการบันยั่งการเพิ่มจำนวนกับระดับความเข้มข้นที่ใช้เชลล์ MCF-7 ได้รับ endrin (ED) และค่าเฉลี่ย  $\pm$  SE ตัวอักษรบนแท่งกราฟแสดงถึงความแตกต่างทางสถิติ ( $P \leq 0.05$ )

#### 4.1.3 ผลการตรวจสอบการแสดงออกของยีนที่ทำหน้าที่ในวิถีเօสโตรเจน

ผลการตรวจสอบการแสดงออกของยีนเพื่อยืนยันว่าการตอบสนองของเชลล์ MCF-7 เมื่อได้รับสารมาตราฐานตามวิธีการข้อ 3.1.3 เป็นการแสดงฤทธิ์ผ่านวิถีเօสโตรเจนหรือไม่ แสดงผลเป็นขั้นตอนดังนี้

##### ก. ผลการสกัดและการตรวจสอบคุณภาพ RNA

หลังจากที่เชลล์ MCF-7 ได้รับสารตัวอย่าง aldrin, endrin และ  $17\beta$ -estradiol ตามลำดับ ตามวิธีการข้อ 3.1.3 ข้อ ก เป็นเวลา 72 ชั่วโมง นำเชลล์มาสกัด RNA ด้วย Trizol® reagent และตรวจสอบคุณภาพ RNA ด้วย 1.5% agarose gel electrophoresis ตามวิธีการหัวข้อ 3.1.3 ข้อ ข ปรากฏผลดังภาพ 4.6



**ภาพ 4.6** ผลการสกัด RNA จากเชลล์ MCF-7 เมื่อได้รับ aldrin (AD), endrin (ED) และ  $17\beta$ -estradiol (E2) ตามลำดับ

จากการตรวจ RNA จะเห็นว่าพบແນບ RNA 2 ແນບ คือ 28s และ 18s โดยແນບของ 28s rRNA จะมีความเข้มมากกว่า 18s rRNA ซึ่งมีความเข้มข้นมากกว่า 2 เท่า แสดงว่า ประสบความสำเร็จในการสกัด RNA ถึงแม้ว่าແນບของ RNA นี้จะมีลักษณะต่อเนื่องไม่ คมชัด หรือที่เรียกว่า smear ซึ่งแสดงว่ามีการสูญเสียสภาพ (degrade) ของ RNA ไปบ้าง แต่ ไม่ใช่ทั้งหมด และ RNA ที่สกัดได้จะต้องทำการเปลี่ยนให้เป็น cDNA ทันที เนื่องจากผล การสูญเสียสภาพ ทั้งนี้ เพราะ RNA มีลักษณะเป็นสายเดี่ยวมีความไม่เสถียร สามารถ ลายตัวได้ง่าย

#### ก. ผลการตรวจสอบคุณภาพและปริมาณ cDNA

RNA ที่สกัดได้จากข้อ ก จะถูกเปลี่ยนให้เป็น cDNA โดยใช้เอนไซม์ M-MuLV® Revertid reverse transcriptase (ตามวิธีการหัวข้อ 3.1.3 ข้อ ก) จากนั้นจึงนำไปตรวจสอบ ปริมาณและความบริสุทธิ์ของ cDNA ที่เกิดขึ้นโดยนำไปวัดค่าการดูดกลืนแสงที่ 260 nm และ 280 nm แล้วนำค่าที่ได้ไปคำนวณหาปริมาณตามสูตร ในหัวข้อ 3.1.3 ข้อ ง ได้ผลดัง แสดงในตาราง 4.1 จากผลที่ได้จะเห็นว่าอัตราส่วนระหว่างค่าการดูดกลืนแสงที่ความยาว คลื่น 260 nm ต่อ 280 nm อยู่ในช่วง 1.8-2.0 ซึ่งเป็นค่าที่แสดงว่ามีความบริสุทธิ์สูง

ตาราง 4.1 การวัดค่าดูดกลืนแสง ค่าความบริสุทธิ์และความเข้มข้นของ DNA

ชื่อสารตัวอย่าง	ความเข้มข้น ของตัวอย่าง	ค่าดูดกลืนแสง		ค่าความบริสุทธิ์ (A260/A280)	ความเข้มข้น DNA (ng/ml)
		260 nm	280 nm		
Aldrin(AD)	250 nM	0.078	0.040	1.95	1,560
Endrin(ED)	1000 nM	0.063	0.035	1.80	1,260
17 $\beta$ -estradiol(E2)	10 <sup>-12</sup> M	0.076	0.0042	1.80	1,520

#### ก. ผลการตรวจสอบการแสดงออกของยีนที่ทำหน้าที่ในวิถีอส托โรเจน

นำค่าปริมาณ cDNA ทั้งหมดที่คำนวณได้จากผลการทดลอง ข้อ ข มาใช้ในการ ปรับความเข้มข้นของปริมาณ cDNA เริ่มต้นให้เป็น 100 ng/ml จากนั้นนำมาตรวจสอบระดับ การแสดงออกของยีน *ERα*, *Akt*, *PI3K*, *TFRC* และ *SULT1E1* โดยใช้เทคนิค semi-quantitative reverse transcriptase PCR (ดูหัวข้อ 3.1.3 ข้อ จ) จากนั้นจึงตรวจสอบด้วย 1.5% agarose gel electrophoresis และนำไปตรวจวัดค่าความสว่างของແນບ PCR product (band intensity) โดยใช้โปรแกรม Quantity One version 4.4.1 (ดูข้อ 3.1.3 ข้อ ฉ) นำค่าที่

ได้มาคำนวณหาค่าอัตราส่วนของการแสดงออกของยีน ด้วยวิธี normalization (ภาคผนวก ข) โดยเทียบกับระดับการแสดงออกของยีน  $\beta$ -actin ยีนในชุดควบคุม จากนั้นนำผลมาวิเคราะห์ด้วยวิธีทางสถิติ (ข้อ 3.1.3 ข้อ ช) ปรากฏว่าสารตัวอย่างที่นำมาทดสอบสามารถออกฤทธิ์ได้คล้ายเอลโตรเจนในระดับความเข้มข้นที่แตกต่างกัน รายละเอียดผลการทดลองดังนี้

#### (1) ผลการวัดระดับการแสดงออกของยีนเมื่อได้รับ aldrin

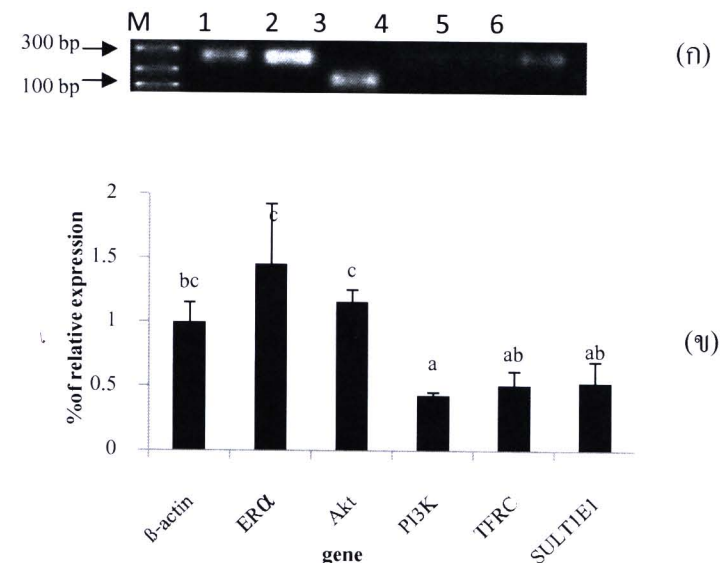
วิธีการ normalization (ดูหัวข้อ 3.1.3 ข้อ ฉ) พบว่ายีน  $ER\alpha$ ,  $Akt$ ,  $PI3K$ ,  $TFRC$  และ  $SULT1E1$  มีค่าเท่ากับ 1.45, 1.15, 0.43, 0.50 และ 0.53 ตามลำดับ ซึ่งแสดงให้เห็นว่า ระดับการแสดงออกของยีน  $ER\alpha$  สูงสุด รองลงมาคือ  $Akt$ ,  $SULT1E1$ ,  $TFRC$  และ  $PI3K$  ตามลำดับ (ดังภาพ 4.7)

#### (2) ผลการวัดระดับการแสดงออกของยีนเมื่อได้รับ endrin

ด้วยวิธีการ normalization (ดูหัวข้อ 3.1.3 ข้อ ฉ) พบว่ายีน  $ER\alpha$ ,  $Akt$ ,  $PI3K$ ,  $TFRC$  และ  $SULT1E1$  มีค่าเท่ากับ 1.38, 0.88, 0.29, 0.50 และ 0.29 ตามลำดับ และแสดงให้เห็นว่ามีระดับการแสดงออกของยีน  $ER\alpha$  สูงสุด รองลงมาคือ  $Akt$ ,  $TFRC$ ,  $SULT1E1$  และ  $PI3K$  ตามลำดับ (ดังภาพ 4.8)

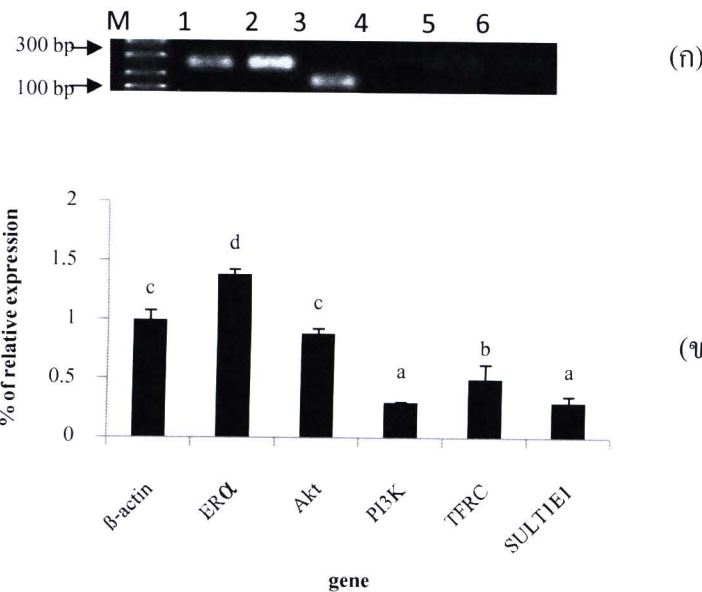
#### (3) ผลการวัดระดับการแสดงออกของยีนเมื่อได้รับ 17 $\beta$ -estradiol

ด้วยวิธีการ normalization (ดูหัวข้อ 3.1.3 ข้อ ฉ) พบว่ายีน  $ER\alpha$ ,  $Akt$ ,  $PI3K$ ,  $TFRC$  และ  $SULT1E1$  มีค่าเท่ากับ 1.44, 0.94, 1.14, 0.25 และ 0.30 ตามลำดับ จะเห็นว่าระดับการแสดงออกของยีน  $ER\alpha$  สูงที่สุด รองลงมาคือ  $PI3K$ ,  $Akt$ ,  $SULT1E1$  และ  $TFRC$  ตามลำดับ (ดังภาพ 4.9)



ภาพ 4.7 ผลจากการไดร์บบ์ aldrin ของเซลล์ MCF-7

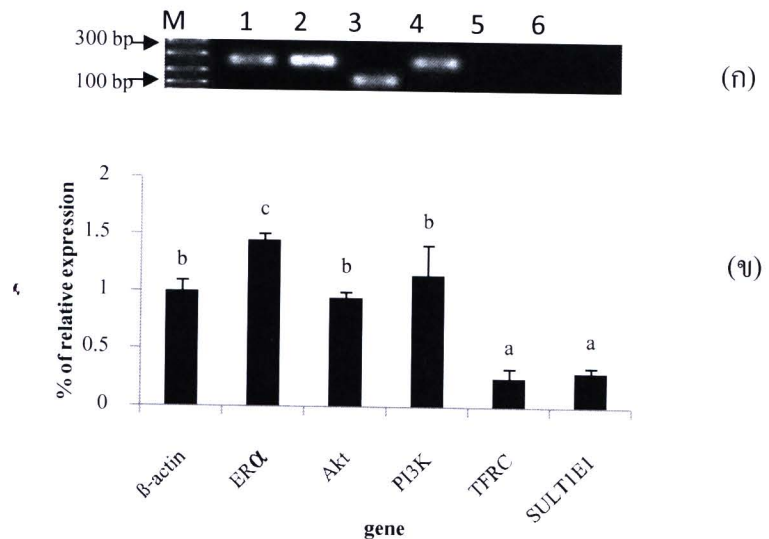
- (η) PCR product การแสดงออกของยีน  $ER\alpha$ ,  $Akt$ ,  $PI3K$ ,  $TFRC$  และ  $SULT1E1$  เปรียบเทียบกับยีน  $\beta$ -actin (อัตราเรย์ M=DNA ladder, 1= $\beta$ -actin, 2= $ER\alpha$ , 3= $Akt$ , 4= $PI3K$ , 5= $TFRC$ , 6= $SULT1E1$ )
- (ψ) ระดับการแสดงออกของยีน  $ER\alpha$ ,  $Akt$ ,  $PI3K$ ,  $TFRC$  และ  $SULT1E1$  เทียบกับยีน  $\beta$ -actin (อัตราเรย์กำกับบนแท่งกราฟแสดงความแตกต่างอย่างมีนัยสำคัญในแต่ละกลุ่ม การทดสอบแสดงค่าเฉลี่ย  $\pm$  SE)



ภาพ 4.8 ผลจากการได้รับ endrin ของเซลล์ MCF-7

(ก) PCR product การแสดงออกของยีน  $ER\alpha$ ,  $Akt$ ,  $PI3K$ ,  $TFRC$  และ  $SULT1E1$  เมื่อเทียบกับยีน  $\beta\text{-actin}$  (อัตราเรื่อง M=DNA ladder, 1= $\beta\text{-actin}$ , 2= $ER\alpha$ , 3= $Akt$ , 4= $PI3K$ , 5= $TFRC$ , 6= $SULT1E1$ )

(ข) ระดับการแสดงออกของยีน  $ER\alpha$ ,  $Akt$ ,  $PI3K$ ,  $TFRC$  และ  $SULT1E1$  เมื่อเทียบกับยีน  $\beta\text{-actin}$  (อัตราเรื่องบนแท่งกราฟแสดงความแตกต่างอย่างมีนัยสำคัญในแต่ละกลุ่ม การทดสอบแสดงค่าเฉลี่ย  $\pm$  SE)



ภาพ 4.9 ผลจากการไดร์บ 17 $\beta$ -estradiol ของเซลล์ MCF-7

(ก) ผลการตรวจสอบ PCR product การแสดงออกของยีน  $ER\alpha$ ,  $Akt$ ,  $PI3K$ ,  $TFRC$  และ  $SULT1E1$  เปรียบเทียบกับยีน  $\beta$ -actin (อักษรย่อ M=DNA ladder, 1= $\beta$ -actin, 2= $ER\alpha$ , 3= $Akt$ , 4= $PI3K$ , 5= $TFRC$ , 6= $SULT1E1$ )

(ข) ระดับการแสดงออกของยีน  $ER\alpha$ ,  $Akt$ ,  $PI3K$ ,  $TFRC$  และ  $SULT1E1$  เปรียบกับยีน  $\beta$ -actin (อักษรกำกับบนแท่งกราฟแสดงความแตกต่างอย่างมีนัยสำคัญ ในแต่ละกลุ่ม การทดสอบแสดงค่าเฉลี่ย  $\pm$  SE)

## 4.2 ผลการตรวจสอบสารออกฤทธิ์คล้ายเอสโตรเจนที่ป่นเปี้ยอนในแหล่งน้ำธรรมชาติ

ผลการตรวจสอบสารออกฤทธิ์คล้ายเอสโตรเจนที่ป่นเปี้ยอนในน้ำทึ้งฟาร์มปศุสัตว์ และน้ำเสียบ่อน้ำบัดดองพยาบาลในจังหวัดเชียงใหม่ ที่มีการปล่อยน้ำทึ้งลงในแหล่งน้ำธรรมชาติ ในผลการทดลองนี้ได้แสดงผลเป็นขั้นตอนต่อไปสำหรับการตรวจวัดคุณภาพน้ำทางกายภาพและเคมีบางประการ โปรดดูหัวข้อ 4.4

### 4.2.1 ผลการศึกษาความเข้มข้นของสารที่ป่นเปี้ยอนในแหล่งน้ำธรรมชาติ

ผลการตรวจสอบสารออกฤทธิ์คล้ายเอสโตรเจนที่ป่นเปี้ยอนในน้ำทึ้งจากฟาร์มปศุสัตว์ และน้ำเสียบ่อน้ำบัดดองพยาบาลในจังหวัดเชียงใหม่ ตามวิธีการข้อ 3.2.2 เมื่อเซลล์ได้รับตัวอย่างน้ำทึ้ง (ในระยะเวลา 72 ชั่วโมง) แล้วจึงนำเซลล์มาตรวจสอบจำนวนเซลล์ด้วยเทคนิค SRB จากนั้นนำไปวิเคราะห์การยับยั้งการเพิ่มจำนวนเซลล์ เมื่อนำมาเปรียบเทียบกับชุดควบคุมโดยคำนวณคิดเป็นร้อยละการแบ่งตัวเพิ่มจำนวน (proliferation) ได้ผลดังนี้

#### (1) น้ำทึ้งฟาร์มสุกร (PF)

ผลการทดสอบตัวอย่างน้ำทึ้งฟาร์มสุกร ต่อเซลล์ที่ระดับความเข้มข้น  $10^{-10}$ ,  $10^{-8}$ ,  $10^{-6}$ ,  $10^{-4}$ ,  $10^{-2}$  และ  $10 \mu\text{l/ml}$  พบว่าเซลล์มีร้อยละการแบ่งตัวเท่ากับ 98.67, 99.67, 105.14, 105.80, 113.93 และ 116.74 ตามลำดับ แสดงให้เห็นว่าเซลล์มีแนวโน้มการแบ่งตัวที่เพิ่มขึ้นที่ระดับความเข้มข้นมากขึ้นโดยความเข้มข้นที่กระตุ้นให้เซลล์มีร้อยละการเพิ่มจำนวนมากที่สุดในการทดลองนี้ คือ  $10 \mu\text{l/ml}$  (ดังภาพ 4.10)

#### (2) น้ำทึ้งฟาร์มวัว (CF)

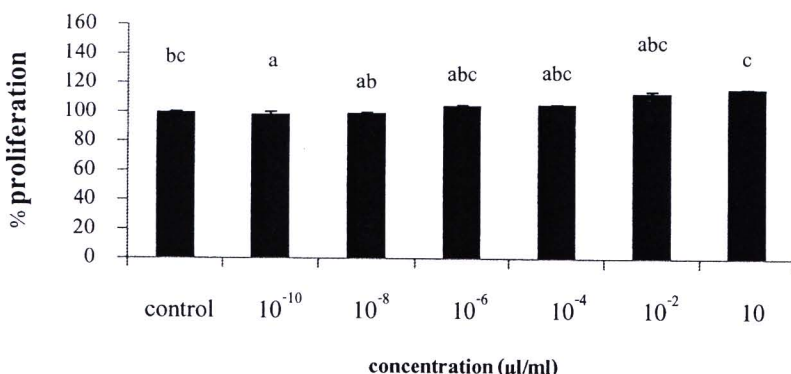
ผลการทดสอบตัวอย่างน้ำทึ้งฟาร์มวัว ต่อเซลล์ที่ระดับความเข้มข้น  $10^{-10}$ ,  $10^{-8}$ ,  $10^{-6}$ ,  $10^{-4}$ ,  $10^{-2}$  และ  $10 \mu\text{l/ml}$  พบว่าเซลล์มีร้อยละการแบ่งตัวเท่ากับ 81.75, 93.20, 98.83, 101.16, 107.131 และ 111.76 ตามลำดับ แสดงให้เห็นว่าเซลล์มีแนวโน้มการแบ่งตัวที่เพิ่มขึ้นที่ระดับความเข้มข้นมากขึ้นโดยความเข้มข้นที่กระตุ้นให้เซลล์มีร้อยละการเพิ่มจำนวนมากที่สุดในการทดลองนี้ คือ  $10 \mu\text{l/ml}$  (ดังภาพ 4.11)

### (3) น้ำทึ้งฟาร์มกบ (FF)

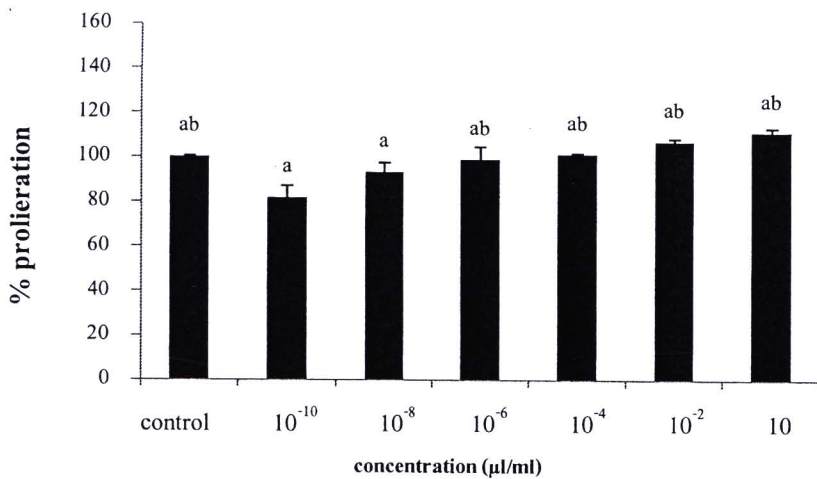
ผลการทดสอบตัวอย่างน้ำทึ้งฟาร์มกบต่อเซลล์ที่ระดับความเข้มข้น  $10^{-10}$ ,  $10^{-8}$ ,  $10^{-6}$ ,  $10^{-4}$ ,  $10^{-2}$  และ  $10 \mu\text{l/ml}$  พบว่าเซลล์มีร้อยละการแบ่งตัวเท่ากับ 83.38, 85.85, 86.86, 88.16, 96.39 และ 107.64 ตามลำดับ แสดงให้เห็นว่า เซลล์มีแนวโน้มการแบ่งตัวที่เพิ่มขึ้นที่ระดับความเข้มข้นมากขึ้นโดยความเข้มข้นที่กระตุ้นให้เซลล์มีร้อยละการเพิ่มจำนวนมากที่สุดในการทดลองนี้ คือ  $10 \mu\text{l/ml}$  (ดังภาพ 4.12)

### (4) น้ำเสียบ่อบำบัดโรงพยาบาลในจังหวัดเชียงใหม่ (SH)

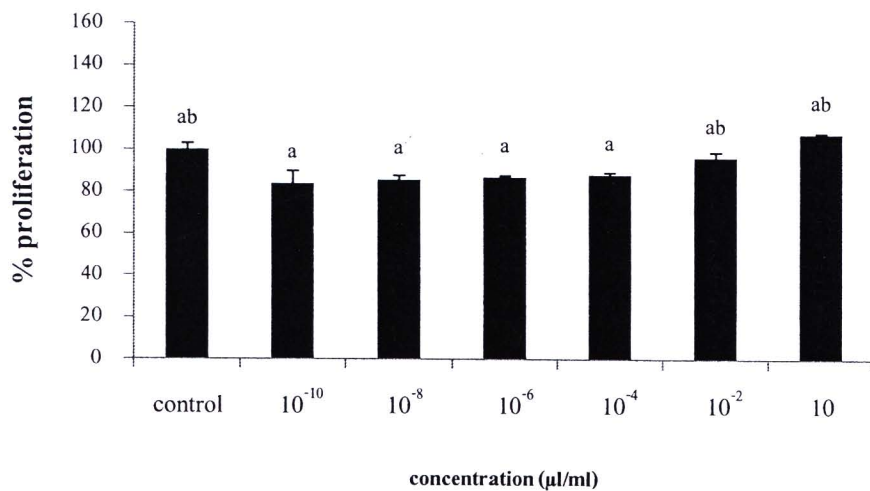
ผลการทดสอบตัวอย่างน้ำเสียบ่อบำบัดสวนดอก ต่อเซลล์ที่ระดับความเข้มข้น  $10^{-10}$ ,  $10^{-8}$ ,  $10^{-6}$  และ  $10^{-4} \mu\text{l/ml}$  พบว่าเซลล์มีร้อยละการแบ่งตัวเท่ากับ 50.89, 63.29, 76.01 และ 118.92 ตามลำดับแสดงให้เห็นว่าเซลล์มีแนวโน้มการแบ่งตัวที่เพิ่มขึ้นที่ระดับความเข้มข้นมากขึ้นและที่ระดับความเข้มข้น  $10^{-2}$  และ  $10 \mu\text{l/ml}$  พบว่าเซลล์มีร้อยละการแบ่งตัวที่ลดลงเท่ากับ 94.12 และ 87.27 ตามลำดับโดย ความเข้มข้นที่กระตุ้นให้เซลล์มีร้อยละการเพิ่มจำนวนมากที่สุดในการทดลองนี้ คือ  $10^{-4} \mu\text{l/ml}$  (ดังภาพ 4.13)



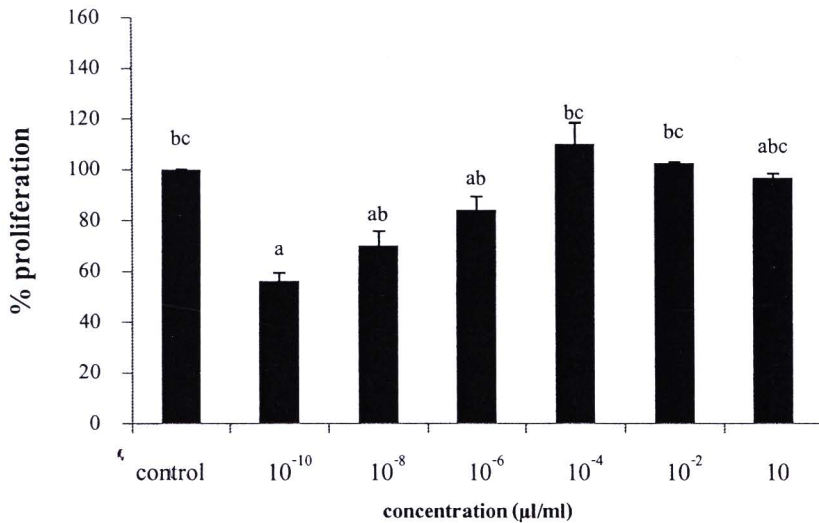
ภาพ 4.10 แสดงความสัมพันธ์ของร้อยละการยับยั้งการเพิ่มจำนวนกับระดับความเข้มข้นที่เซลล์ MCF-7 ได้รับตัวอย่างน้ำทึ้งฟาร์มสุกร (PF) แสดงค่าเฉลี่ย  $\pm \text{SE}$  ตัวอักษรบนแท่งกราฟ แสดงถึงความแตกต่างทางสถิติ ( $P \leq 0.05$ )



ภาพ 4.11 แสดงความสัมพันธ์ของร้อยละการยับยั้งการเพิ่มจำนวนกับระดับความเข้มข้นที่เซลล์ MCF-7 ได้รับตัวอย่างน้ำทึ้งฟาร์มวัว (CF) แสดงค่าเฉลี่ย  $\pm \text{SE}$  ตัวอักษรบนแท่งกราฟ แสดงถึงความแตกต่างทางสถิติ ( $P \leq 0.05$ )



ภาพ 4.12 แสดงความสัมพันธ์ของร้อยละการยับยั้งการเพิ่มจำนวนกับระดับความเข้มข้นที่เซลล์ MCF-7 ได้รับตัวอย่างทึ้งฟาร์มคน (FF) แสดงค่าเฉลี่ย  $\pm \text{SE}$  ตัวอักษรบนแท่งกราฟแสดงถึงความแตกต่างทางสถิติ ( $P \leq 0.05$ )



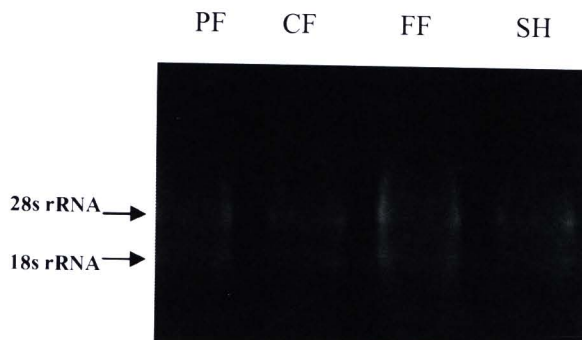
ภาพ 4.13 แสดงความสัมพันธ์ของร้อยละการยับยั้งการเพิ่มจำนวนกับระดับความเข้มข้นที่เซลล์ MCF-7 ได้รับตัวอย่างน้ำเสียบ่อบำบัดน้ำเสียโรงพยาบาล (SH) และแสดงค่าเฉลี่ย  $\pm \text{SE}$  ตัวอักษรบนแท่งกราฟแสดงถึงความแตกต่างทางสถิติ ( $P \leq 0.05$ )

#### 4.2.2 ผลการตรวจสอบการทดสอบออกของยีนที่ทำหน้าที่ในวิธีเอสโตรเจน

ผลการตรวจสอบการทดสอบออกของยีนที่ทำหน้าที่ในวิธีเอสโตรเจนเพื่อยืนยันว่า การตอบสนองของเซลล์ MCF-7 เมื่อได้รับตัวอย่างน้ำทึ้งฟาร์มสุกร, น้ำทึ้งฟาร์มวัว, น้ำทึ้งฟาร์มกบ และน้ำเสียบ่อบำบัดโรงพยาบาล ตามวิธีการข้อ 3.2.3 มีการแสดงฤทธิ์ผ่านวิธีเอสโตรเจนหรือไม่ แสดงผลเป็นขั้นตอนดังนี้

#### ก. ผลการสกัดและการตรวจสอบคุณภาพ RNA

หลังจากที่เซลล์ MCF-7 ได้รับสารตัวอย่าง น้ำทึ้งฟาร์มสุกร, น้ำทึ้งฟาร์มวัว, น้ำทึ้งฟาร์มกบ และน้ำเสียบ่อบำบัด โรงพยาบาลตามลำดับ ตามวิธีการข้อ 3.1.3 ข้อ ก เป็นเวลา 72 ชั่วโมง นำเซลล์มาสกัด total RNA ด้วย Trizol® reagent และตรวจสอบคุณภาพ RNA ด้วย 1.5% agarose gel electrophoresis ตามวิธีการหัวข้อ 3.1.3 ข้อ ข ปรากฏผลดังภาพ 4.14



**ภาพ 4.14** ผลการสกัด RNA จากเซลล์ MCF-7 เมื่อได้รับน้ำทึ้งฟาร์มสุกร (PF), น้ำทึ้งฟาร์มวัว(CF), น้ำทึ้งฟาร์มคน (FF) และ น้ำเสียบ่อบำบัดโรงพยาบาล (SH) ตามลำดับ

#### ข. ผลการตรวจสอบคุณภาพและปริมาณ cDNA

RNA ที่สกัดได้จากข้อ ก จะถูกเปลี่ยนให้เป็น cDNA โดยใช้ออนไซซ์ M-MuLV® Revertid reverse transcriptase (ตามวิธีการหัวข้อ 3.1.3 ข้อ ก) จากนั้นจึงนำไปตรวจสอบปริมาณและความบริสุทธิ์ของ cDNA ที่เกิดขึ้นโดยนำไปวัดค่าการดูดกลืนแสงที่ 260 nm และ 280 nm แล้วนำค่าที่ได้ไปคำนวณหาปริมาณตามสูตร ในหัวข้อ 3.1.3 ข้อ งได้ผลดังแสดงในตาราง 4.2 จากผลที่ได้จะเห็นว่าอัตราส่วนระหว่างค่าการดูดกลืนแสงที่ความยาวคลื่น 260 nm ต่อ 280 nm อยู่ในช่วง 1.8-2.0 ซึ่งเป็นค่าที่แสดงว่ามีความบริสุทธิ์สูง

**ตาราง 4.2** การวัดค่าดูดกลืนแสง ค่าความบริสุทธิ์และความเข้มข้นของ DNA

ชื่อสารตัวอย่าง	ความเข้มข้น ของตัวอย่าง	ค่าดูดกลืนแสง		ค่าความบริสุทธิ์ (A260/A280)	ความเข้มข้น
		260 nm	280 nm		
น้ำทึ้งฟาร์มสุกร(PF)	10 $\mu$ l/ml	0.113	0.060	1.88	2,260
น้ำทึ้งฟาร์มวัว (CF)	10 $\mu$ l/ml	0.077	0.040	1.92	1,540
น้ำทึ้งฟาร์มคน(FF)	10 $\mu$ l/ml	0.095	0.050	1.90	1,900
น้ำเสียบ่อบำบัดโรงพยาบาล (SH)	$10^{-4}$ $\mu$ l/ml	0.070	0.035	2.00	1,400

#### ก. ผลการตรวจสอบการแสดงออกของยีนที่ทำหน้าที่ในวิถีเอสโตรเจน

นำค่าปริมาณ cDNA ทั้งหมดที่คำนวณได้จากการทดลอง ข้อ ข มาใช้ในการปรับความเข้มข้นของปริมาณ cDNA เริ่มต้นให้เป็น 100 ng/ml จากนั้นนำมาตรวจวัดระดับการแสดงออกของยีน *ERα*, *Akt*, *PI3K*, *TFRC*และ *SULT1E1* โดยใช้เทคนิค semi-quantitative reverse transcriptase PCR (ดูหัวข้อ 3.1.3 ข้อ จ) จากนั้นจึงตรวจสอบด้วย 1.5% agarose gel electrophoresis แล้วนำไปตรวจวัดค่าความสว่างของแอน PCR product

(band intensity) โดยใช้โปรแกรม Quantity One version 4.4.1 (ดูข้อ 3.1.3 ข้อ ณ) นำค่าที่ได้มาคำนวณหาค่าอัตราส่วนของการแสดงออกของยีน ด้วยวิธี normalization (ภาคผนวกข) โดยเทียบกับระดับการแสดงออกของยีน  $\beta$ -actin ยีนในชุดควบคุม จากนั้นนำผลมาวิเคราะห์ด้วยวิธีทางสถิติ (ข้อ 3.1.3 ข้อ ช) ปรากฏว่าสารตัวอย่างที่นำมาทดสอบสามารถออกฤทธิ์ได้คล้ายเอสโตรเจนในระดับความเข้มข้นที่แตกต่างกัน รายละเอียดผลการทดลองดังนี้

#### (1) ผลการวัดระดับการแสดงออกของยีนเมื่อได้รับตัวอย่างน้ำทึ้งฟาร์มสุกร

ด้วยวิธีการ normalization (ดูหัวข้อ 3.1.3 ข้อ ณ ) พบร่วมกัน  $ER\alpha$ ,  $Akt$ ,  $PI3K$ ,  $TFRC$  และ  $SULT1E1$  มีค่าเท่ากับ 1.09, 0.93, 0.04, 0.88 และ 0.26 ตามลำดับ และแสดงให้เห็นว่า ระดับการแสดงออกของยีน  $ER\alpha$  สูงที่สุด รองลงมาคือ  $Akt$ ,  $TFRC$ ,  $SULT1E1$  และ  $PI3K$  ตามลำดับ (ดังภาพ 4.15)

#### (2) ผลการวัดระดับการแสดงออกของยีนเมื่อได้รับตัวอย่างน้ำทึ้งจากฟาร์มวัว

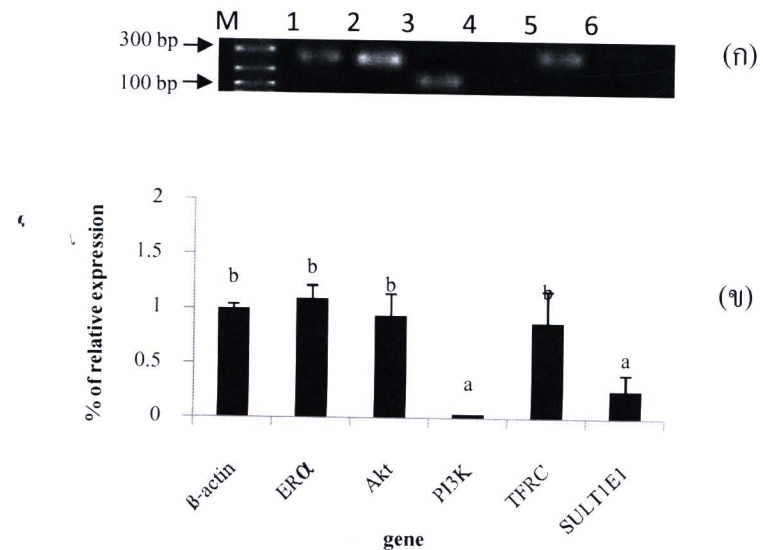
ด้วยวิธีการ normalization (ดูหัวข้อ 3.1.3 ข้อ ณ ) พบร่วมกัน  $ER\alpha$ ,  $Akt$ ,  $PI3K$ ,  $TFRC$  และ  $SULT1E1$  มีค่าเท่ากับ 0.50, 1.02, 0.06, 0.19 และ 0.17 ตามลำดับ และแสดงให้เห็นว่า  $Akt$  มีระดับการแสดงออกของยีนสูงสุด รองลงมาคือ  $ER\alpha$ ,  $SULT1E1$ ,  $TFRC$  และ  $PI3K$  ตามลำดับ (ดังภาพ 4.16)

#### (3) ผลการวัดระดับการแสดงออกของยีนเมื่อได้รับตัวอย่างน้ำทึ้งจากฟาร์มกบ

ด้วยวิธีการ normalization (ดูหัวข้อ 3.1.3 ข้อ ณ ) พบร่วมกัน  $ER\alpha$ ,  $Akt$ ,  $PI3K$ ,  $TFRC$  และ  $SULT1E1$  มีค่าเท่ากับ 1.19, 1.17, 0.05, 0.91 และ 0.41 ตามลำดับ และแสดงให้เห็นว่า  $ER\alpha$  มีระดับการแสดงออกของยีนสูงสุด รองลงมาคือ  $Akt$ ,  $TFRC$ ,  $SULT1E1$  และ  $PI3K$  ตามลำดับ (ดังภาพ 4.17)

#### (4) ผลการวัดระดับการแสดงออกของยีนเมื่อได้รับตัวอย่างน้ำเสียงบอนบันด์โรงพยาบาล

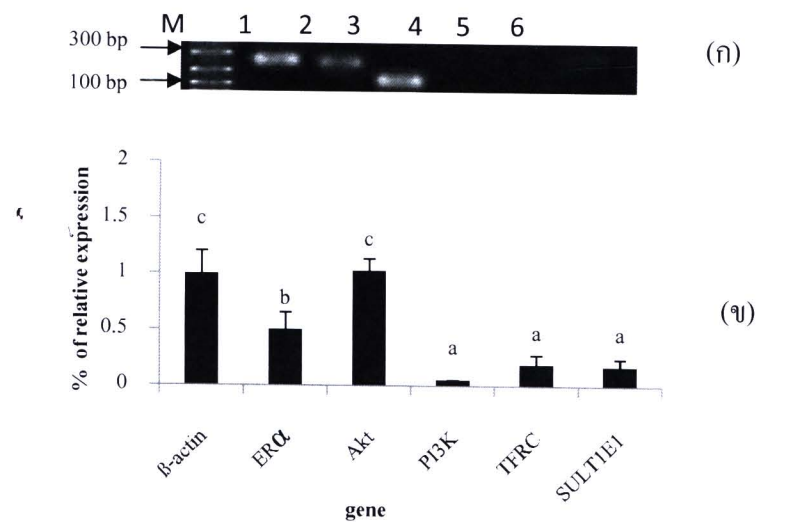
ด้วยวิธีการ normalization (ดูหัวข้อ 3.1.3 ข้อ ณ ) พบร่วมกัน  $ER\alpha$ ,  $Akt$ ,  $PI3K$ ,  $TFRC$  และ  $SULT1E1$  มีค่าเท่ากับ 0.63, 0.99, 0.08, 1.46 และ 0.29 ตามลำดับ และแสดงให้เห็นว่า ระดับการแสดงออกของยีน  $TFRC$  สูงที่สุด รองลงมาคือ  $Akt$ ,  $ER\alpha$ ,  $SULT1E1$  และ  $PI3K$  ตามลำดับ (ดังภาพ 4.18)



ภาพ 4.15 ผลจากการได้รับน้ำทึบฟาร์มสุกรของเซลล์ MCF-7

(ก) ผลการตรวจสอบ PCR product การแสดงออกของยีน  $ER\alpha$ ,  $Akt$ ,  $PI3K$ ,  $TFRC$  และ  $SULT1E1$ เปรียบเทียบกับยีน  $\beta$ -actin (อัตราเบื้องหลัง M=DNA ladder, 1= $\beta$ -actin, 2= $ER\alpha$ , 3= $Akt$ , 4= $PI3K$ , 5= $TFRC$ , 6= $SULT1E1$ )

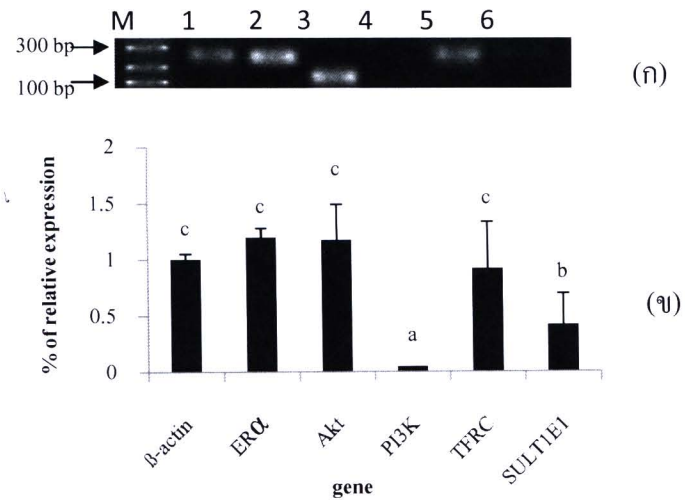
(ข) ระดับการแสดงออกของยีน  $ER\alpha$ ,  $Akt$ ,  $PI3K$ ,  $TFRC$  และ  $SULT1E1$ เทียบกับยีน  $\beta$ -actin (อัตราเบื้องหลังแท่งกราฟแสดงความแตกต่างอย่างมีนัยสำคัญในแต่ละกลุ่ม การทดสอบแสดงค่าเฉลี่ย  $\pm$  SE)



ภาพ 4.16 ผลจากการได้รับน้ำทึ้งฟาร์มวัวของเซลล์ MCF-7

(η) ผลการตรวจสอด匹配 PCR product การแสดงออกของยีน  $ER\alpha$ ,  $Akt$ ,  $PI3K$ ,  $TFRC$  และ  $SULT1E1$  เมื่อเทียบกับยีน  $\beta$ -actin (อัตราเรย์ M=DNA ladder, 1= $\beta$ -actin, 2= $ER\alpha$ , 3= $Akt$ , 4= $PI3K$ , 5= $TFRC$ , 6= $SULT1E1$ )

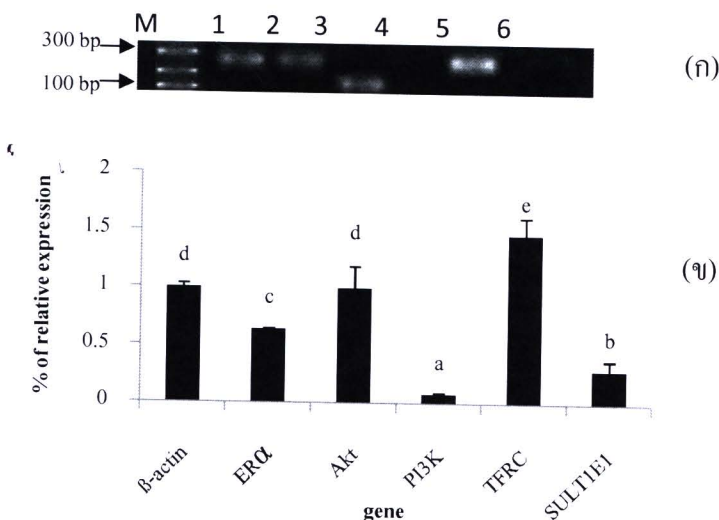
(ψ) ระดับการแสดงออกของยีน  $ER\alpha$ ,  $Akt$ ,  $PI3K$ ,  $TFRC$  และ  $SULT1E1$  เมื่อเทียบกับยีน  $\beta$ -actin (อัตราเรย์กำกับบนแท่งกราฟแสดงความแตกต่างอย่างมีนัยสำคัญในแต่ละกลุ่ม การทดลองแสดงค่าเฉลี่ย  $\pm$  SE)



ภาพ 4.17 ผลจากการได้รับน้ำทึบพาร์มกับของเซลล์ MCF-7

(ก) ผลการตรวจสอบ PCR product การแสดงออกของยีน  $ER\alpha$ ,  $Akt$ ,  $PI3K$ ,  $TFRC$  และ  $SULT1E1$  เปรียบเทียบกับยีน  $\beta$ -actin (อัตราเรือ M=DNA ladder, 1= $\beta$ -actin, 2= $ER\alpha$ , 3= $Akt$ , 4= $PI3K$ , 5= $TFRC$ , 6= $SULT1E1$ )

(ข) ระดับการแสดงออกของยีน  $ER\alpha$ ,  $Akt$ ,  $PI3K$ ,  $TFRC$  และ  $SULT1E1$  เทียบกับยีน  $\beta$ -actin (อัตราเรือ  $\beta$ -actin (อัตราเรือ  $\beta$ -actin กำกับบนแท่งกราฟแสดงความแตกต่างอย่างมีนัยสำคัญในแต่ละกลุ่ม การทดลองแสดงค่าเฉลี่ย  $\pm$  SE)



ภาพ 4.18 ผลจากการได้รับน้ำเสียงบ่อสำนักโรงพยาบาลของเซลล์ MCF-7

- (ก) ผลการตรวจสอบ PCR product การแสดงออกของยีน *ER $\alpha$* , *Akt*, *PI3K*, *TFRC* และ *SULT1E1*เปรียบเทียบกับยีน  $\beta$ -*actin* (อักษรย่อ M=DNA ladder, 1= $\beta$ -*actin*, 2=*ER $\alpha$* , 3=*Akt*, 4=*PI3K*, 5=*TFRC*, 6=*SULT1E1*)
- (ง) ระดับการแสดงออกของยีน *ER $\alpha$* , *Akt*, *PI3K*, *TFRC* และ *SULT1E1*เปรียบกับยีน  $\beta$ -*actin* (อักษรกำกับบนแท่งกราฟแสดงความแตกต่างอย่างมีนัยสำคัญในแต่ละกลุ่ม การทดลองแสดงค่าเฉลี่ย  $\pm$  SE)

### 4.3 ผลการตรวจสอบในผลิตภัณฑ์ที่ใช้อุปโภคบริโภคในชีวิตประจำวันบางชนิด

ผลการตรวจสอบสารออกฤทธิ์คล้ายเօสโตรเจนในผลิตภัณฑ์ที่ใช้อุปโภคบริโภคในชีวิตประจำวันบางชนิดโดยแสดงผลเป็นขั้นตอนดังนี้

#### 4.3.1 ผลการศึกษาความเข้มข้นของผลิตภัณฑ์ที่ใช้อุปโภคบริโภคในชีวิตประจำวันบางชนิด

ผลการศึกษาความเข้มข้นของตัวอย่างผลิตภัณฑ์ที่ใช้อุปโภคบริโภคในชีวิตประจำวันบางชนิดตามวิธีการหัวข้อ 3.2.2 เมื่อเซลล์ MCF-7 ได้รับสารตัวอย่าง เป็นเวลา 72 ชั่วโมง นำเซลล์มาตรวจสอบจำนวนเซลล์ด้วยเทคนิค SRB และนำไปวิเคราะห์ดูการยับยั้งการเพิ่มจำนวนของเซลล์ เมื่อนำมาเปรียบเทียบกับตัวควบคุม โดยคำนวณเป็นร้อยละการแบ่งตัวเพิ่มจำนวน (proliferation) ได้ผลดังนี้

##### (1) สมุนไพรบำรุงกำลัง (AH)

ผลการทดสอบตัวอย่างสมุนไพรบำรุงกำลังต่อเซลล์ที่ระดับความเข้มข้น  $10^{-14}$ ,  $10^{-12}$ ,  $10^{-10}$ ,  $10^{-8}$ ,  $10^{-6}$  และ  $10^{-4} \mu\text{l/ml}$  พบว่าเซลล์มีร้อยละการแบ่งตัวเท่ากับ 109.73, 112.11, 123.04, 134.20, 138.47 และ 145.84 ตามลำดับ และให้เห็นว่าเซลล์มีแนวโน้มการแบ่งตัวเพิ่มขึ้นที่ระดับความเข้มข้นมากขึ้นและที่ระดับความเข้มข้น  $10^{-2}$  และ  $10 \mu\text{l/ml}$  พบว่าเซลล์มีร้อยละการแบ่งตัวลดลงเท่ากับ 101.90, 61.52 ตามลำดับ โดยความเข้มข้นที่กระตุ้นให้เซลล์มีร้อยละการเพิ่มจำนวนมากที่สุดคือ  $10^{-4} \mu\text{l/ml}$  (ดังภาพ 4.19)

##### (2) สารสกัดความเครื่องขาว (BH)

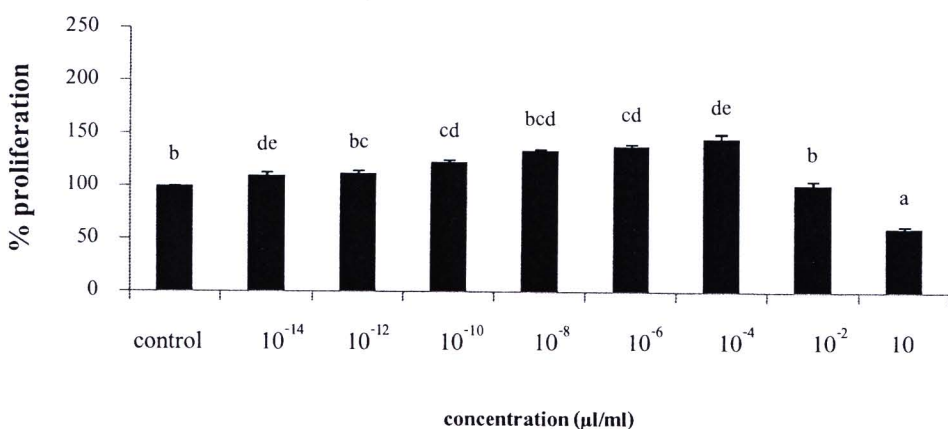
ผลการทดสอบตัวอย่างสารสกัดความเครื่องขาวต่อเซลล์ที่ระดับความเข้มข้น  $10^{-8}$ ,  $10^{-6}$  และ  $10^{-4} \mu\text{g/ml}$  พบว่าเซลล์มีร้อยละการแบ่งตัวเท่ากับ 175.73, 185.67 และ 230.117 ตามลำดับ และให้เห็นว่าเซลล์มีแนวโน้มการแบ่งตัวที่เพิ่มขึ้นที่ระดับความเข้มข้นของสารสกัดจากความเครื่องขาวเพิ่มมากขึ้น และที่ระดับความเข้มข้น  $10^{-2}$ ,  $10^{-1}$ ,  $1 \times 10^3$ ,  $2 \times 10^3$  และ  $4 \times 10^3 \mu\text{g/ml}$  พบว่าเซลล์มีร้อยละการแบ่งตัวเท่ากับ 199.41, 195.32, 183.04, 136.25 และ 107.89 ตามลำดับ และให้เห็นว่าเซลล์มีแนวโน้มการแบ่งตัวเพิ่มขึ้นที่ระดับความเข้มข้นของสารสกัดความเครื่องขาวเพิ่มมากขึ้น โดยความเข้มข้นที่กระตุ้นให้เซลล์มีร้อยละการเพิ่มจำนวนมากที่สุดคือ  $10^{-4} \mu\text{l/ml}$  (ดังภาพ 4.20)

### (3) น้ำในบัวงอก (TH)

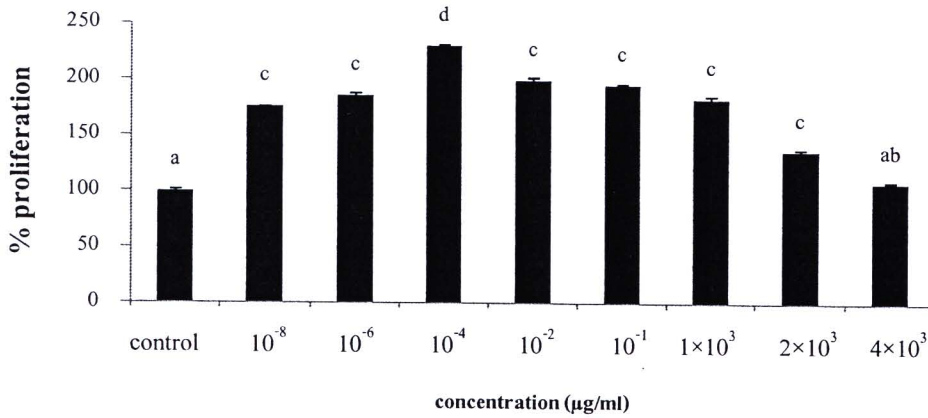
ผลการทดสอบตัวอย่างน้ำในบัวงอก ต่อเซลล์ที่ระดับความเข้มข้น  $10^{-14}$ ,  $10^{-12}$ ,  $10^{-10}$ ,  $10^{-8}$ ,  $10^{-6}$  และ  $10^{-4} \mu\text{l/ml}$  พบว่าเซลล์มีร้อยละการแบ่งตัวเท่ากับ 170.30, 157.24, 145.13, 136.10, 133.72 และ 105.46 ตามลำดับ แสดงให้เห็นว่าเซลล์มีแนวโน้มการแบ่งตัวเพิ่มขึ้นที่ระดับความเข้มข้นมากขึ้นและที่ระดับความเข้มข้น  $10^{-2}$  และ  $10 \mu\text{l/ml}$  พบว่าเซลล์มีร้อยละการแบ่งตัวที่ลดลงเท่ากับ 94.12 และ 87.27 ตามลำดับ (ดังภาพ 4.21)

### (4) น้ำมะพร้าวอ่อน (CJ)

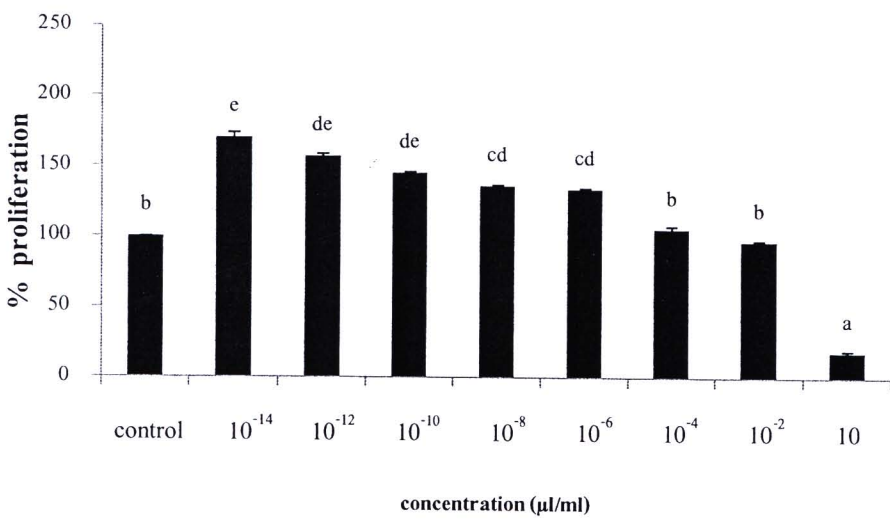
ผลการทดสอบตัวอย่างน้ำมะพร้าวอ่อน ต่อเซลล์ที่ระดับความเข้มข้น  $10^{-14}$ ,  $10^{-12}$ ,  $10^{-10}$ ,  $10^{-8}$ ,  $10^{-6}$ ,  $10^{-4}$ ,  $10^{-2}$  และ  $10 \mu\text{l/ml}$  พบว่าเซลล์มีร้อยละการแบ่งตัวเท่ากับ 69.07, 85.17, 94.39, 101.08, 104.34, 112.11, 114.82 และ 123.14 ตามลำดับ แสดงให้เห็นว่าเซลล์มีแนวโน้มการแบ่งตัวเพิ่มขึ้นที่ระดับความเข้มข้นของน้ำมะพร้าวเพิ่มมากขึ้น โดยความเข้มข้นที่กระตุ้นให้เซลล์มีร้อยละการเพิ่มจำนวนมากที่สุดคือ  $10 \mu\text{l/ml}$  (ดังภาพ 4.22)



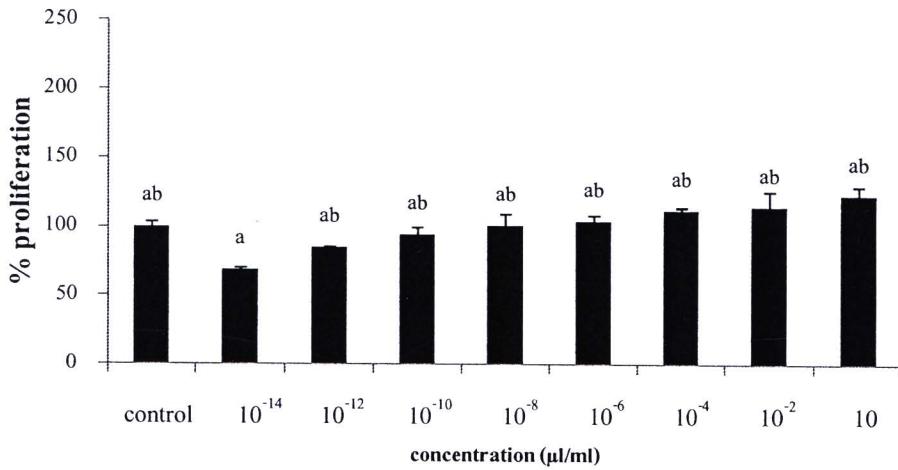
ภาพ 4.19 แสดงความสัมพันธ์ของร้อยละการยับยั้งการเพิ่มจำนวนกับระดับความเข้มข้นที่เซลล์ MCF-7 ได้รับตัวอย่างสมุนไพรบำรุงกำลัง (AH) แสดงค่าเฉลี่ย  $\pm \text{SE}$  ตัวอักษรบนแท่งกราฟแสดงถึงความแตกต่างทางสถิติ ( $P \leq 0.05$ )



ภาพ 4.20 แสดงความสัมพันธ์ของร้อยละการยับยั้งการเพิ่มจำนวนกับระดับความเข้มข้นที่เซลล์ MCF-7 ได้รับตัวอย่างสารสกัดกวาร์เชอร์ขาว (BH) แสดงค่าเฉลี่ย  $\pm$  SE ตัวอักษรบนแท่งกราฟแสดงถึงความแตกต่างทางสถิติ ( $P \leq 0.05$ )



ภาพ 4.21 แสดงความสัมพันธ์ของร้อยละการยับยั้งการเพิ่มจำนวนกับระดับความเข้มข้นที่เซลล์ MCF-7 ได้รับตัวอย่างน้ำใบบัวบก (TH) แสดงค่าเฉลี่ย  $\pm$  SE ตัวอักษรบนแท่งกราฟแสดงถึงความแตกต่างทางสถิติ ( $P \leq 0.05$ )



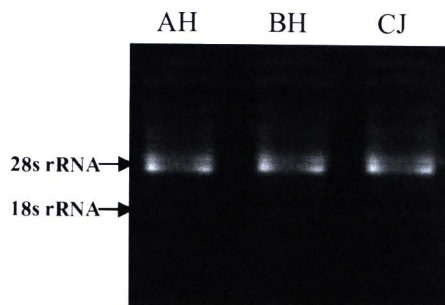
ภาพ 4.22 แสดงความสัมพันธ์ของร้อยละการยับยั้งการเพิ่มจำนวนกับระดับความเข้มข้นที่เซลล์ MCF-7 ได้รับตัวอย่างน้ำมะพร้าวอ่อน (CJ) และค่าเฉลี่ย  $\pm \text{SE}$  ตัวอักษรบนแท่งกราฟ แสดงถึงความแตกต่างทางสถิติ ( $P \leq 0.05$ )

#### 4.3.2 ผลการตรวจสอบการแสดงออกของยีนที่ทำหน้าที่ในวิถีเօสโตรเจน

ผลการตรวจสอบการแสดงออกของยีนที่ทำหน้าที่ในวิถีเօสโตรเจนเพื่อยืนยันว่า การตอบสนองของเซลล์ MCF-7 เมื่อได้รับตัวอย่างสมุนไพรบำรุงกำลัง, สารสกัดจาก ความเครื่อขาวและน้ำมะพร้าวอ่อนตามวิธีการข้อ 3.2.3 มีการแสดงฤทธิ์ผ่านวิถีเօสโตรเจน หรือไม่ แสดงผลเป็นขั้นตอนดังนี้

##### ก. ผลการสกัดและการตรวจสอบคุณภาพ RNA

หลังจากที่เซลล์ MCF-7 ได้รับสารตัวอย่าง ตัวอย่างสมุนไพรบำรุงกำลัง, สารสกัด จากความเครื่อขาวและน้ำมะพร้าวอ่อนตามลำดับ วิธีวิเคราะห์ผลการทดสอบทำ เช่นเดียวกับหัวข้อ 4.2 ปรากฏผลดังภาพ 4.23



**ภาพ 4.23** ผลการสกัด RNA จากเซลล์ MCF-7 เมื่อได้รับสมุนไพรบำรุงกำลัง (AH), สารสกัดภาวะเครื่องขา (BH) และน้ำมะพร้าวอ่อน (CJ) ตามลำดับ

#### ข. ผลการตรวจสอบคุณภาพและปริมาณ cDNA

RNA ที่สกัดได้จากข้อ ก จะถูกเปลี่ยนให้เป็น cDNA โดยใช้ออนไซซ์ M-MuLV<sup>®</sup> Revertid reverse transcriptase (ตามวิธีการหัวข้อ 3.1.3 ข้อ ก) จากนั้นจึงนำไปตรวจสอบปริมาณและความบริสุทธิ์ของ cDNA ที่เกิดขึ้น โดยนำไปวัดค่าการดูดกลืนแสงที่ 260 nm และ 280 nm แล้วนำค่าที่ได้ไปคำนวณหาปริมาณตามสูตร ในหัวข้อ 3.1.3 ข้อ งได้ผลดังแสดงในตาราง 4.3 จากผลที่ได้จะเห็นว่าอัตราส่วนระหว่างค่าการดูดกลืนแสงที่ความยาวคลื่น 260 nm ต่อ 280 nm อยู่ในช่วง 1.8-2.0 ซึ่งเป็นค่าที่แสดงว่ามีความบริสุทธิ์สูง

**ตาราง 4.3** การวัดค่าดูดกลืนแสง ค่าความบริสุทธิ์และความเข้มข้นของ DNA

ชื่อสารตัวอย่าง	ความเข้มข้น ของตัวอย่าง	ค่าดูดกลืนแสง		ค่าความบริสุทธิ์ (A260/A280)	ความเข้มข้น DNA (ng/ml)
		260 nm	280 nm		
สมุนไพรบำรุงกำลัง (AH)	$10^{-4}$ $\mu$ l/ml	0.067	0.035	1.91	1,340
สารสกัดภาวะเครื่องขา(BH)	$10^{-4}$ $\mu$ g/ml	0.055	0.030	1.83	1,100
น้ำมะพร้าวอ่อน(CJ)	10 $\mu$ l/ml	0.055	0.030	1.83	1,100

#### ค. ผลการตรวจสอบการแสดงออกของยีนที่ทำหน้าที่ในวิถีอส托เรเจน

นำค่าปริมาณ cDNA ทั้งหมดที่คำนวณได้จากการทดลอง ข้อ ข มาใช้ในการปรับความเข้มข้นของปริมาณ cDNA เริ่มต้นให้เป็น 100 ng/ml จากนั้นนำมาตรวจวัดระดับการแสดงออกของยีน *ERα*, *Akt*, *PI3K*, *TFRC* และ *SULT1E1* โดยใช้เทคนิค semi-quantitative reverse transcriptase PCR (ดูหัวข้อ 3.1.3 ข้อ จ) จากนั้นจึงตรวจสอบด้วย 1.5% agarose gel electrophoresis และนำไปตรวจวัดค่าความสว่างของแถบ PCR product (band intensity) โดยใช้โปรแกรม Quantity One version 4.4.1 (ดูหัวข้อ 3.1.3 ข้อ ฉ) นำค่าที่

ได้มาคำนวณหาค่าอัตราส่วนของการแสดงออกของยีน ด้วยวิธี normalization (ภาคผนวก ข) โดยเทียบกับระดับการแสดงออกของยีน  $\beta$ -actin ยีนในชุดควบคุม จากนั้นนำผลมาวิเคราะห์ด้วยวิธีทางสถิติ (ข้อ 3.1.3 ข อ) ปรากฏว่าสารตัวอย่างที่นำมาทดสอบสามารถออกฤทธิ์ได้คล้ายเอลโตรเจน ในระดับความเข้มข้นที่แตกต่างกัน รายละเอียดผลการทดลองดังนี้

**(1) ผลการวัดระดับการแสดงออกของยีนเมื่อได้รับตัวอย่างสมุนไพรบำรุงกำลัง**

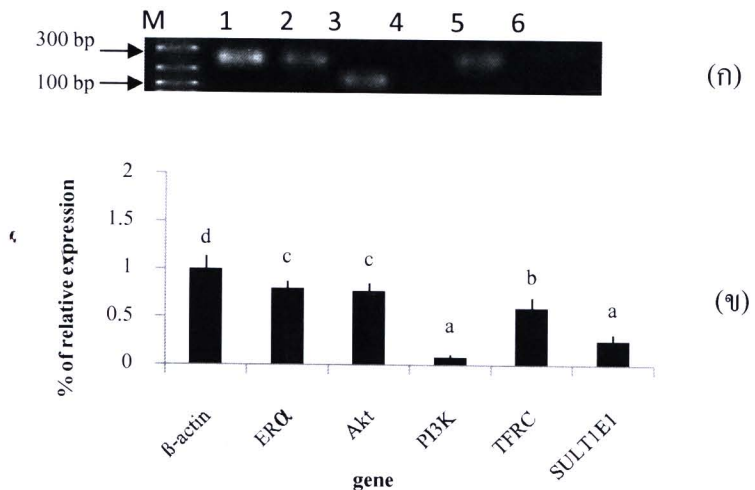
ด้วยวิธีการ normalization (ดูหัวข้อ 3.1.3 ข อ ) พบร่วมกับยีน  $ER\alpha$ ,  $Akt$ ,  $PI3K$ ,  $TFRC$  และ  $SULT1E1$  มีค่าเท่ากับ 0.79, 0.76, 0.08, 0.59, 0.25 ตามลำดับแสดงให้เห็นว่า ระดับการแสดงออกของยีน  $ER\alpha$  สูงสุด รองลงมาคือ  $Akt$ ,  $TFRC$ ,  $SULT1E1$  และ  $PI3K$  ตามลำดับ(ดังภาพ 4.24)

**(2) ผลการวัดระดับการแสดงออกของยีนเมื่อได้รับตัวอย่างสารสกัดความเครื่อขาว**

ด้วยวิธีการ normalization (ดูหัวข้อ 3.1.3 ข อ ) พบร่วมกับยีน  $ER\alpha$ ,  $Akt$ ,  $PI3K$ ,  $TFRC$  และ  $SULT1E1$  มีค่าเท่ากับ 1.18, 0.94, 0.09, 0.65 และ 0.27 ตามลำดับ และแสดงให้เห็นว่า ระดับการแสดงออกของยีน  $ER\alpha$  สูงที่สุด รองลงมาคือ  $Akt$ ,  $TFRC$ ,  $SULT1E1$  และ  $PI3K$  ตามลำดับ (ดังภาพ 4.25)

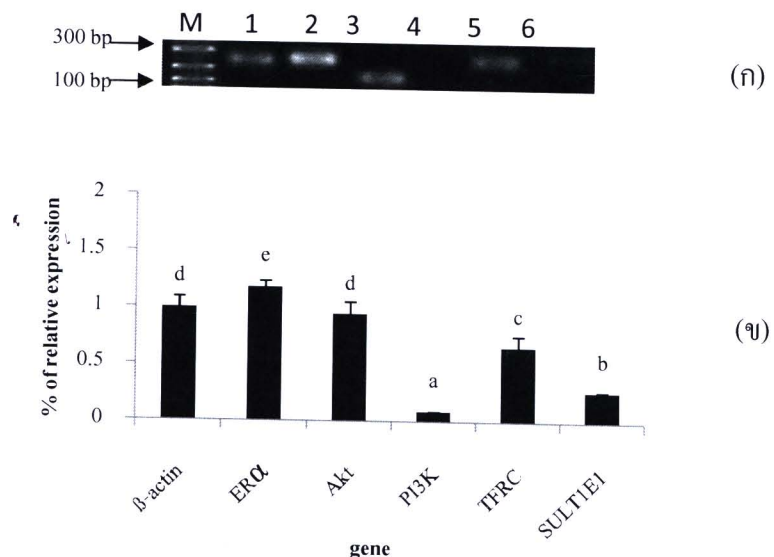
**(3) ผลการวัดระดับการแสดงออกของยีน เมื่อได้รับตัวอย่างน้ำมะพร้าว**

ด้วยวิธีการ normalization (ดูหัวข้อ 3.1.3 ข อ ) พบร่วมกับยีน  $ER\alpha$ ,  $Akt$ ,  $PI3K$ ,  $TFRC$  และ  $SULT1E1$  มีค่าเท่ากับ 1.41, 1.00, 0.87, 1.13 และ 0.20 ตามลำดับ ซึ่งแสดงให้เห็นว่า ระดับการแสดงออกของยีน  $ER\alpha$  สูงสุด รองลงมาคือ  $TFRC$ ,  $Akt$ ,  $SULT1E1$  และ  $PI3K$  ตามลำดับ(ดังภาพ 4.26)



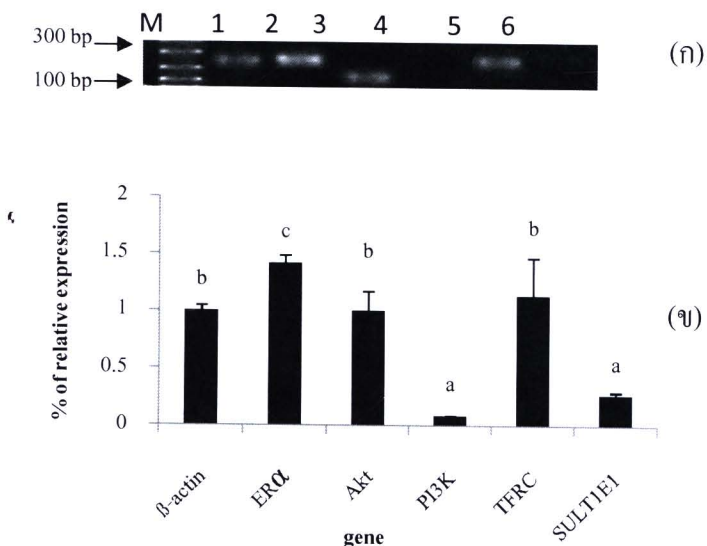
ภาพ 4.24 ผลจากการได้รับสมุนไพรบำรุงกำลังของเซลล์ MCF-7

- (ก) ผลการตรวจสอบ PCR product การแสดงออกของยีน *ER $\alpha$* , *Akt*, *PI3K*, *TFRC* และ *SULT1E1* เปรียบเทียบกับยีน  $\beta$ -*actin* (อัตราเรือ M=DNA ladder, 1= $\beta$ -*actin*, 2=*ER $\alpha$* , 3=*Akt*, 4=*PI3K*, 5=*TFRC*, 6=*SULT1E1*)
- (ข) ระดับการแสดงออกของยีน *ER $\alpha$* , *Akt*, *PI3K*, *TFRC* และ *SULT1E1* เทียบกับยีน  $\beta$ -*actin* (อัตราเรือกำกับบนแท่งกราฟแสดงความแตกต่างอย่างมีนัยสำคัญในแต่ละกลุ่ม การทดสอบแสดงค่าเฉลี่ย  $\pm$  SE)



ภาพ 4.25 ผลจากการได้รับสารสกัดความเครื่องขาวของเซลล์ MCF-7

- (ก) ผลการตรวจสอบ PCR product การแสดงออกของยีน  $ER\alpha$ ,  $Akt$ ,  $PI3K$ ,  $TFRC$  และ  $SULT1E1$  เปรียบเทียบกับยีน  $\beta$ -actin (อักษรย่อ M=DNA ladder, 1= $\beta$ -actin, 2= $ER\alpha$ , 3= $Akt$ , 4= $PI3K$ , 5= $TFRC$ , 6= $SULT1E1$ )
- (ข) ระดับการแสดงออกของยีน  $ER\alpha$ ,  $Akt$ ,  $PI3K$ ,  $TFRC$  และ  $SULT1E1$  เทียบกับยีน  $\beta$ -actin (อักษรกำกับบนแท่งกราฟแสดงความแตกต่างอย่างมีนัยสำคัญในแต่ละกลุ่ม การทดสอบแสดงค่าเฉลี่ย  $\pm$  SE)



ภาพ 4.26 ผลจากการได้รับน้ำมันพิรุาวของเซลล์ MCF-7

(ก) ผลการตรวจสอดบ PCR product การแสดงออกของยีน  $ER\alpha$ ,  $Akt$ ,  $PI3K$ ,  $TFRC$  และ  $SULT1E1$  เปรียบเทียบกับยีน  $\beta$ -actin (อัตราเรย์ M=DNA ladder, 1= $\beta$ -actin, 2= $ER\alpha$ , 3= $Akt$ , 4= $PI3K$ , 5= $TFRC$ , 6= $SULT1E1$ )

(ข) ระดับการแสดงออกของยีน  $ER\alpha$ ,  $Akt$ ,  $PI3K$ ,  $TFRC$  และ  $SULT1E1$  เปรียบกับยีน  $\beta$ -actin (อัตราเรย์กำกับบนแท่งกราฟแสดงความแตกต่างอย่างมีนัยสำคัญในแต่ละกลุ่ม การทดลองแสดงค่าเฉลี่ย  $\pm$  SE)

#### 4.4 คุณภาพน้ำทางกายภาพและเคมีของตัวอย่างน้ำจาก ฟาร์มสูกร, ฟาร์มวัว, ฟาร์มกบ และน้ำเสียบ่อบำบัดโรงพยาบาลในจังหวัดเชียงใหม่

ผลการตรวจคุณภาพน้ำ (ดูหัวข้อ 3.2.1 ข้อ ๖ (ส่วนที่ 2)) เมื่อพิจารณาคุณภาพน้ำของตัวอย่างน้ำที่นำมาทดสอบการออกฤทธิ์ของเอสโตรเจนและสารออกฤทธิ์คล้ายเอสโตรเจนโดยรวมดังภาพ 4.27 โดยในที่นี้จะยกล่าวรายละเอียดดังนี้

##### 4.2.1 อุณหภูมิของน้ำตัวอย่าง

อุณหภูมิของตัวอย่างน้ำทึ้งฟาร์มสูกร, ฟาร์มวัว, ฟาร์มกบ และน้ำเสียบ่อบำบัดโรงพยาบาลในจังหวัดเชียงใหม่ มีค่าเท่ากับ 30.1, 28, 28.7 และ 28.4 °C ตามลำดับแสดงให้เห็นว่าอุณหภูมิของตัวอย่างน้ำทึ้งและน้ำเสียที่ทำการเก็บมีค่าอยู่ระหว่าง 28-32°C โดยประมาณ(ภาพ 4.27 (ก))

##### 4.2.2 ค่าความเป็นกรดเป็นด่าง (pH)

ค่าความเป็นกรดเป็นด่างของตัวอย่างน้ำจากฟาร์มสูกร, ฟาร์มวัว, ฟาร์มกบและน้ำเสียบ่อบำบัดโรงพยาบาลในจังหวัดเชียงใหม่ มีค่าเท่ากับ 7.43, 7.11, 7.55 และ 8.27 ตามลำดับ จะเห็นว่าค่าความเป็นกรดเป็นด่าง (pH) ของตัวอย่างทึ้งจากฟาร์มอยู่ในช่วง 7.00-8.00 ในส่วนของน้ำเสียจากบ่อบำบัดมีค่าความเป็นกรดเป็นด่าง (pH) สูงกว่าตัวอย่างน้ำทึ้งจากฟาร์มทั้ง 3 ฟาร์ม (ภาพ 4.27 (ข))

##### 4.2.3 ค่าการนำไฟฟ้า (Conductivity)

ค่าการนำไฟฟ้าของตัวอย่างน้ำทึ้งจากฟาร์มสูกร, ฟาร์มวัว, ฟาร์มกบและน้ำเสียบ่อบำบัดโรงพยาบาลในจังหวัดเชียงใหม่ มีค่าเท่ากับ 1609, 296, 1183 และ 517 $\mu$ S/cm ตามลำดับ (ภาพ 4.27 (ค))

##### 4.2.4 ออกซิเจนที่ละลายในน้ำ (DO)

ค่าออกซิเจนที่ละลายในน้ำทึ้งจากฟาร์มวัวและน้ำเสียบ่อบำบัดโรงพยาบาลในจังหวัดเชียงใหม่มีค่าเท่ากับ 1 และ 3 mg/ลิตรตามลำดับ ในส่วนของฟาร์มสูกรและฟาร์มกบนั้นไม่สามารถวิเคราะห์ค่าออกซิเจนที่ละลายในน้ำ (ภาพ 4.27 (ง))

#### **4.2.5 ค่าความต้องการออกซิเจนทางชีวเคมี (BOD)**

ผลการตรวจวัดค่าความต้องการออกซิเจนทางชีวเคมีของตัวอย่างน้ำทึ้งฟาร์มสุกร, ฟาร์มวัว, ฟาร์มกบและน้ำเสียบ่อบำบัดโรงพยาบาลในจังหวัดเชียงใหม่ มีค่าเท่ากับ 1020, 16, 152 และ 44 mg/ลิตรตามลำดับ แสดงให้เห็นว่าแต่ละตัวอย่างจะมีค่าความต้องการของออกซิเจนที่แตกต่างกันอย่างมีนัยสำคัญ(ภาพ 4.27 (จ))

#### **4.2.6 ไนเตรท-ไนโตรเจน ( $\text{NO}_3\text{-N}$ )**

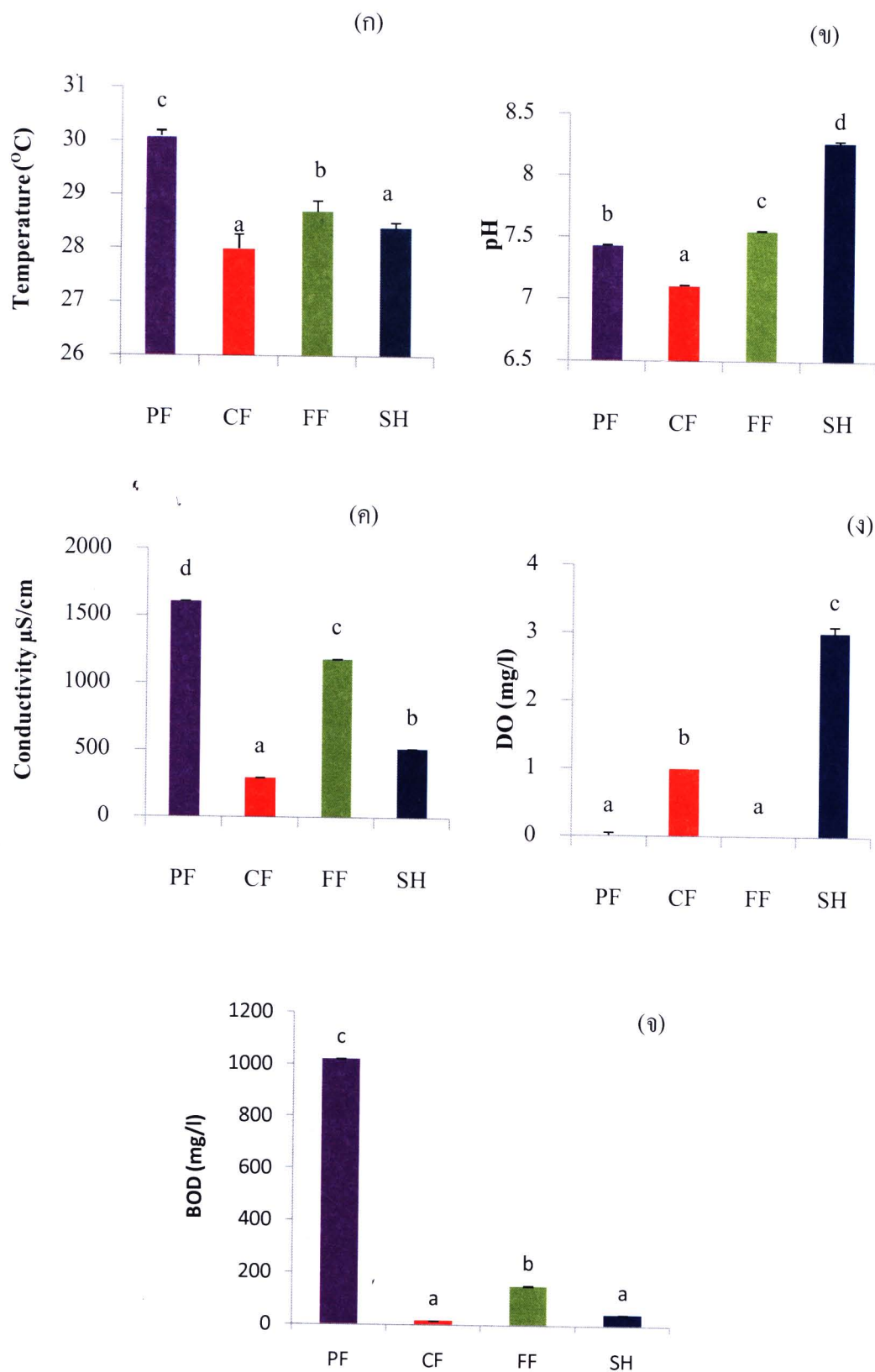
ผลการตรวจวัดค่า ไนเตรท-ไนโตรเจน ( $\text{NO}_3\text{-N}$ ) จากตัวอย่างน้ำฟาร์มสุกร, ฟาร์มวัว, ฟาร์มกบและน้ำเสียบ่อบำบัดโรงพยาบาลในจังหวัดเชียงใหม่ มีค่าเท่ากับ 80, 24.8, 1.6 และ 2.5 mg/ลิตรตามลำดับ จะเห็นว่าค่า ไนเตรทไนโตรเจนของแต่ละตัวอย่างมีความแตกต่างกัน(ภาพ 4.27 (ฉ))

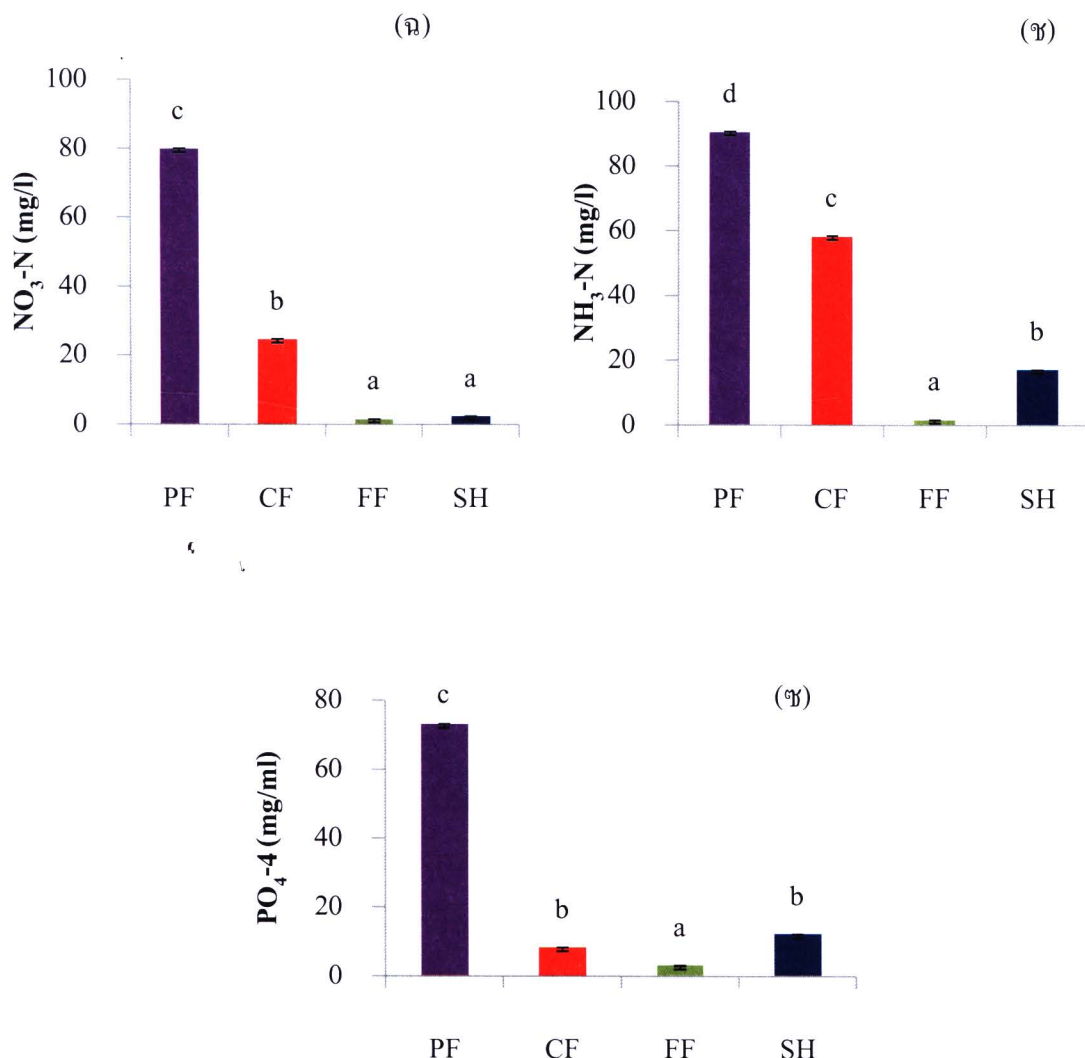
#### **4.2.7 แอมโมเนีย-ไนโตรเจน ( $\text{NH}_3\text{-N}$ )**

ผลการตรวจวัดค่า แอมโมเนีย-ไนโตรเจน ( $\text{NH}_3\text{-N}$ ) จากตัวอย่างน้ำทึ้งฟาร์มสุกร, ฟาร์มวัว, ฟาร์มกบและน้ำเสียบ่อบำบัดโรงพยาบาลในจังหวัดเชียงใหม่ มีค่าเท่ากับ 90.6, 58.4, 1.69 และ 17.16 mg/ลิตรตามลำดับ(ภาพ 4.27 (ช))

#### **4.2.8 ออร์โธฟอสเฟต( $\text{PO}_4\text{-4}$ )**

ผลการตรวจวัดค่า ฟอสฟอรัส ( $\text{PO}_4\text{-4}$ ) ตัวอย่างน้ำทึ้งฟาร์มสุกร, ฟาร์มวัว, ฟาร์มกบ และน้ำเสียบ่อบำบัดโรงพยาบาลในจังหวัดเชียงใหม่ มีค่าเท่ากับ 73.2, 8.4, 3.13 และ 12.32 mg/l ตามลำดับ (ภาพ 4.27 (ช))





ภาพ 4.27 คุณภาพน้ำตัวอย่างน้ำทึ้งฟาร์มปศุสัตว์และน้ำเสียบ่อบำบัดโรงพยาบาลในจังหวัดเชียงใหม่ (ก) อุณหภูมิน้ำ (บ) pH (ค) การนำไปฟื้นฟ้า (ง) ออกซิเจนที่ละลายน้ำ (จ) BOD (ฉ) ในเตรทไนโตรเจน (ช) และ โมเนียมในโตรเจน (ฉ) ออร์โพรอสเฟต (อักษรย่อกำกับแท่งกราฟ CF= น้ำทึ้งฟาร์มวัว, PF= น้ำทึ้งฟาร์มสุกร, FF= น้ำทึ้งฟาร์มกบ, SH= น้ำเสียบ่อบำบัดโรงพยาบาล) แสดงค่าเฉลี่ย  $\pm \text{SE}$  ตัวอักษรบนแท่งกราฟแสดงถึงความแตกต่างทางสถิติ ( $p \leq 0.05$ )